

بسم الله الرحمن الرحيم

دراسة نظرية ومختبرية لمضخات الطرد المركزي
Theoretical and experimental study on Centrifugal
pumps

اعداد : عصام الدين على التوم ابومازن

مشروع تخرج تكميلي لنيل درجة بكالوريوس الشرف في الهندسة الميكانيكية
supervisor : Osama Mohammed Elmaradi Suleiman
Assistant professor

قسم الهندسة الميكانيكية

كلية الهندسة والتقنية

جامعة وادي النيل

ديسمبر 2005 م



بِسْمِ اللّٰهِ الرَّحْمٰنِ الرَّحِیْمِ

سورة الشرح

الإهداء

إلى أمي،،،

التي علمتني معنى الحياة، ورفع عنقي مشرباً نحو الأهداف، وأعطتني الصبر....

مفتاح وقضية،،،

أهدي حصاد السنين..

إلى روح أبي الطاهرة،،،

إلى رفيقة دربي،،،

إلى زهراتي (شهد & وجن)

لكم أنتقت خمسة نجومات أيقونة تضي سبيلي رشداً دون مزالق الحياة، أتيتكم اليوم أحمل

تاجاً من النجاح أطوق به أعناقكم...

إلى أخوتي وزملائي وأستاذتي الأجلاء،،،،

أمنكم أستمد بريق الأمل وزاد الأيام عسماً في بلوغ رضاكم....

الباحث

شكر وعرفان

كل شكري وتقديري إلى إدارة كلية الهندسة والتقنية بجامعة وادي النيل.....
وينتهي شكرنا بالطبع عند من هم السبب في ترتيب وتصويب وإخراج هذه الدراسة إلى
الوجود، نحاول أن نوفيهم حقهم من الشكر، أتقدم بكل حياء لأسجي أسمي آيات الشكر معلمي الجليل
الأستاذ/ أسامة محمد المرضي لمدته لي بالوصاية التي احتجت إليها في هذا البحث.

لهم مني جميعاً كل حباً وتقديراً واحتراماً،،،،

رقم الصفحة	الموضوع
I	الإهداء
II	شكر و عرفان
III	المحتويات
V	ملخص
VII	Abstract
1	الفصل الأول: 1.0 مقدمة
1	1.1 مقدمة عامة
1	1.2 تصنيف المضخات
5	1.3 أهداف الدراسة الحالية
7	الفصل الثاني: 2.0 اختبار المضخات
7	2.1 قياس السمات
8	2.3 قياس السعة
9	2.4 قياس السرعة
11	الفصل الثالث: 3.0 دراسة نظرية
11	3.1 معايرة مقياس الفنشورى
13	3.2 خلفية نظرية عن المضخات
18	3.3 تطبيق معادلة أويلر لماكينات سريان الطرد المركزي
20	3.4 خصائص الأداء
21	3.5 الفقودات

23	3.6 الكفاءة
24	3.7 تأثير الانزلاق على نظرية أويلر.
27	3.8 قوانين التشابه
28	3.9 السرعة النوعية
30	3.10 التكيف في المضخات
31	الفصل الرابع: 4.0 دراسة مختبرية
31	4.1 جهاز التجربة
33	4.2 مواصفات جهاز التجربة
34	4.3 خطوات التجربة
35	4.4 نماذج من العمليات الحسابية
41	4.5 النتائج المختبرية والمناقشة
45	الفصل الخامس: 5.0 تعقيبات على جهاز التجربة
45	5.1 توافق الجهاز مع الشروط القياسية
45	5.2 معوقات إجراء الإختبارات
47	الفصل السادس: 6.0 الخاتمة
49	المراجع ملحق محتويات
50	ملحق (أ): جداول.
55	ملحق (ب): مخططات

ملخص

(Summary)

يتم تحديد أداء المضخة من أربعة كميات أساسية هي الطاقة الكلية المضافة للمائع بواسطة المضخة، تصريف السريان، القدرة المدخلة لعمود المضخة، وسرعة عمود المضخة، يتم حساب الطاقة الكلية من قياسات السريان والضغط ويتم قياس الكميات الثلاث المتبقية مباشرة خلال أجهزة القياس المتوفرة بجهاز التجربة. من الأرقام المتحصل عليها خلال الاختبار يمكن حساب الكفاءة الإجمالية (Gross efficiency). إضافياً، فإن قياسات مثل صافي سمات السحب الموجب (NPSH) يمكن استدعاؤها بحيث يمكن تقدير أداء التكيف.

كل أو جميع المضخات بغض النظر عن مقاساتها أو تصنيفها يجب أن تعطي أداءً مقبولاً خلال الاختبارات قبل القبول النهائي للمشتري. (أي يجب أن تلائم متطلبات ومواصفات المشتري). أهداف الاختبارات يمكن حصرها في الآتي:

1. تحسين التصميم والتشغيل الفعلي للمضخة بدراسة التأثيرات المترتبة على أداء المضخة عند تعديل التصميم.

2. للتأكد من المواصفات المطلوبة للمضخة.

على أي حال، فإن الهدف الرئيسي من هذه الدراسة هو إجراء اختبارات أداء على مضخة طرد مركزي ودراسة خصائصها.

استخدم في هذا البحث جهاز اختبار صغير الحجم عبارة عن وحدة ضخ ذات مرحلتين تتكون من مضختين متشابهتين في مواصفاتها يمكن تشغيلهما بالتوصيل إما على التوالي أو التوازي وهكذا يسمح بإجراء اختبارات على مضخة متعددة المراحل.

وجد من خلال هذا البحث أن النتائج المخبرية المتحصل عليها توافقت تماماً النتائج المعطاة بواسطة المصنع. ووجد أيضاً أن كفاءة المضخة تكون متدنية (حوالي 45%) مقارنة بالقيم المقبولة التي تكون

في حدود 75% ويرجع ذلك إلى صغر حجم الماكينة الذي ينشأ عنه عدم تناسب في أجزاء الماكينة

وبالتالي يقود إلى فقودات عالية.

Abstract

Pump performance is determined from four quantities, total energy added to the fluid by the pump, flow discharge, power input to the pump shaft and pump shaft speed. Total energy is calculated from the flow and pressure measurements and the other three quantities are measured directly. From the test figures, the gross efficiency can be computed. Additionally, measurements of the net positive suction head, NPSH, may be called for, so that cavitation performance of the pump may be estimated.

Every pump regardless of size or classification should have at least some kind of performance test before final acceptance by the purchaser. If not, the customer or user does not have any way of knowing that his or her requirements have been fulfilled. Performance tests of pumps and the test methods will depend on the ultimate purpose of the tests. Tests normally fall into one of two purposes or objectives:-

1. Improvement in design, or actual operation, thus enabling any effect on performance by a change or modification in design to be evaluated.
2. To determine if contractual commitments have been met, thus making possible the comparison of specified, predicted, and actual performance.

However, the main objective of this research is to run performance test on a centrifugal pump and to study its characteristics. The test set is of a small scale designed as a simple self-contained to permit this study. It is a two-stage unit consists of two identical pumps that may be operated either in parallel or in series, thus permitting a study of a multi-stage pump. It is a specially built scale model pumps made by plint and parteners limited company which specializes in manufacturing engineering education equipment.

The experimental results obtained were absolutely satisfactory and almost identical to those provided by the manufacturer. The efficiency of the pump

VIII

was found to be of a low value compared with accepted values for industrial units which reach a value a round 75%. The reason for this low efficiency about 45% is the small size of the machine which results in a disproportionate losses (i.e. bearing, gland and skin friction).

الفصل الأول

1.0 المقدمة

1.1 مقدمة عامة (General Introduction) :

هنالك ماكينات ومعدات قليلة لها تاريخ أطول في خدمة الإنسان أكثر من المضخة. جميع الإجراءات الصناعية التي تقع تحت مظلة حضارتنا الحديثة غالباً ما تتضمن بصورة أو بأخرى عمليات نقل أو سريان للموائع. وعليه، فإن المضخة والتي هي وسيلة ميكانيكية لإنجاز نقل الموائع ~~تتضمن~~ من الوحدات الأساسية للإجراءات الصناعية ونمو وتطور هذه الإجراءات^{لها} ارتباطاً وثيقاً بتطورات وتحسينات وحدة الضخ.

يقدر في الوقت الحالي أن إنتاج مضخات الطرد المركزي في الأسواق العالمية هو حوالي (80%-85%) من الإنتاج الإجمالي للمضخات. ولقد مرت المضخات بمتسلسلة من التطورات والتحسينات أدت إلى زيادة كفاءتها، اعتماديتها، وتكيفها وموائمتها مع النمو المضطرد للتكنولوجيا وحاجيات العنصر البشري.

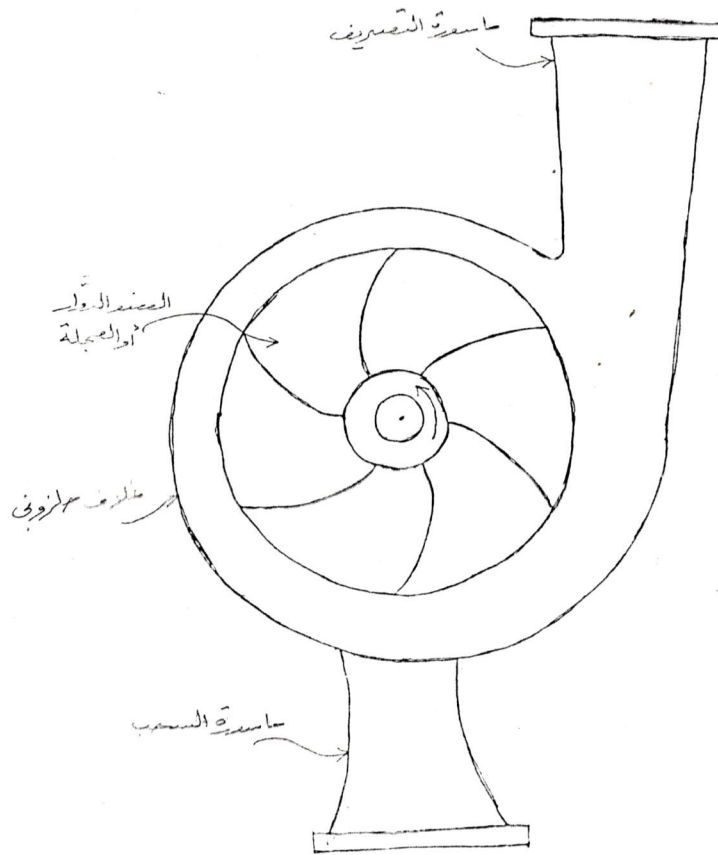
1.2 تصنيف المضخات (Classification of pumps):

بالرغم من أن هنالك وسائل عديدة لتصنيف المضخات، فإن التعريف الأوضح يكون مؤسساً على الأسلوب الذي تنقل به القدرة إلى المائع، المبدأ الميكانيكي الذي يقف وراء نقل الطاقة، وأخيراً الجهاز الميكانيكي لتحريك المائع. هذا الأسلوب يمكن استخدامه لتصنيف المضخات إلى قسمين رئيسيين هما المضخات الديناميكية الدوارة ومضخات الإزاحة الموجبة.

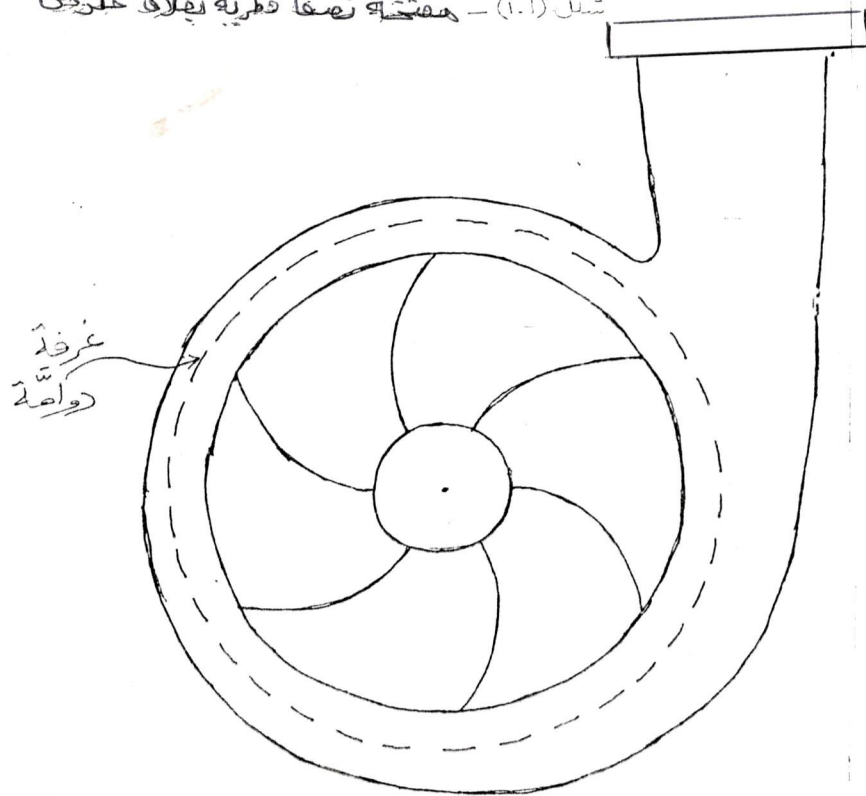
1.2.1 المضخات الديناميكية (Roto- Dynamic Pumps):

هذه المضخات تولد ضغوطاً وبالتالي عملية ضخ بقوة الطرد المركزي، الرفع الديناميكي، أو تبادل كمية الحركة. يتم إمداد الطاقة باستمرار إلى المائع في مضخات الطرد المركزي ليبتج سريان نصف قطري، محوري أو مختلط.

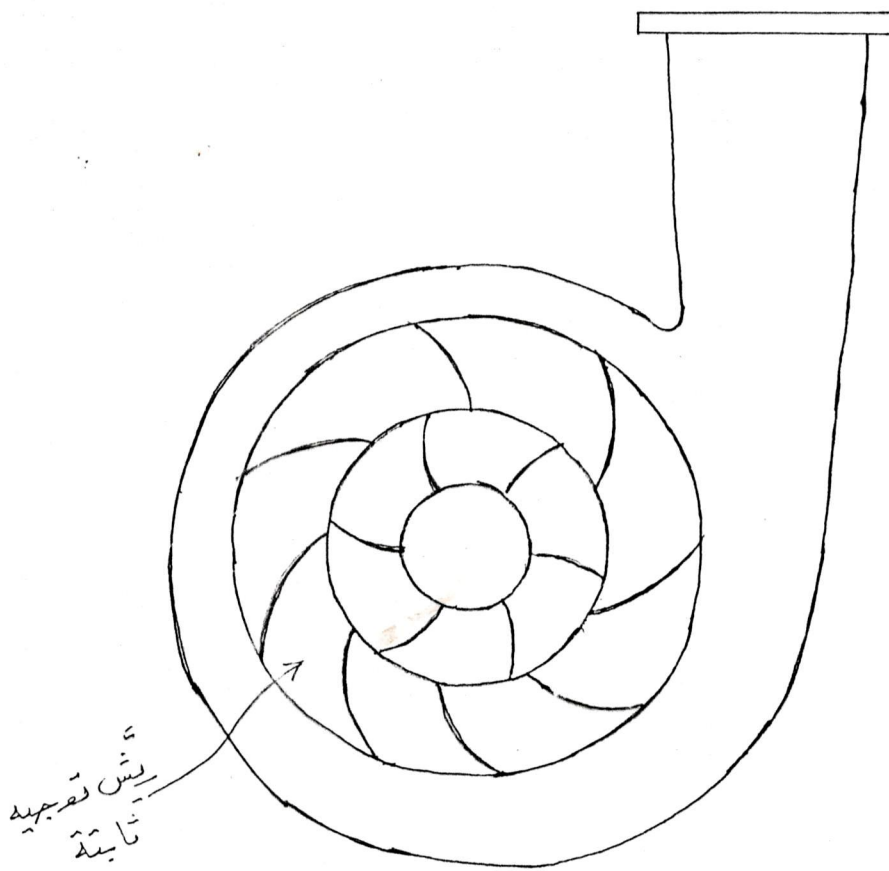
تتكون المضخة الديناميكية الدوارة أساسيا من عجلة (Impeller) تحمل عددا من الريش المقوسة إلى الخلف التي تدور في الغلاف شكل رقم (1.1) أدناه. يدخل السائل إلى المضخة عند منتصفها ويكون هنالك شغل عليه عندما يمر إلى الخارج بالطرد المركزي حيث يغادر العجلة بسرعة عالية وزيادة في الضغط. في الغلاف الحلزوني، هنالك جزء من طاقة السرعة للمائع يتحول إلى طاقة ضغط كلما مر السريان إلى ماسورة التصريف. الشكل رقم (1.1) يوضح غلafa حلزونيا (Volute casing) تزيد مساحتها في اتجاه التصريف وهكذا يخفض سرعة السائل ويزيد الضغط لتخطي سمت التصريف. هذا النوع من الغلاف لديه كفاءة منخفضة لأن هنالك فقد كبير في الطاقة نتيجة للدوامات (eddies). الشكل رقم (1.2) أدناه يوضح مضخة بغرفة دوامة (a vortex or whirl pool chamber) التي هي اتحاد بين غرفة دائرية وغلaf حلزوني. هذا النوع من الغرف لديه كفاءة عالية لتحويل طاقة الحركة إلى طاقة ضغط أكبر مما يتم الحصول عليها من غلاف حلزوني فقط. أما إذا أريد الحصول على كفاءة قصوى أكبر من تلك للنوعين المذكورين عالية يتم استخدام ناشرة (diffuser) تتكون من حلقة بريش توجيه ثابتة وظيفتها تحويل جزء كبير من طاقة السرعة عند المدخل إلى طاقة ضغط وتوجيه الماء إلى الريش المتحركة وأيضا تتحكم في حجم الماء وبالتالي القدرة المدخلة إلى عمود المضخة. عندما يتم استخدام ريش توجيه ثابتة، تسمى المضخة بمضخة التوربينة أو مضخة فرانسيس لأنها تشبه توربينة تعمل عكسيا. شكل رقم (1.3) أدناه.



شكل (1.1) - مضخة نصف قطرية بقلاب حلزوني



شكل (1.2) - مضخة نصف قطرية برفوف دوامة



شکل (1.3) - مصنّف نصف قطریه بریش
تقصید ثابته

1.2.2 مضخات الإزاحة الموجبة (positive displacement pumps):

تتكون من كباس أو عضو إزاحة يتحرك في أسطوانة يدخل إليها السائل أو يغادرها خلال صمامات مناسبة. يعطي الكباس حركة ترددية بواسطة ذراع توصيل وعمود مرفقي.

هنالك نوعان من المضخات الترددية أو لاهما هي مضخة السحب (suction pump) والتي تستخدم فقط لرفع الماء إلى مستوى أسطوانة المضخة. في شوط السحب فإن حركة الكباس تصنع فراغا جزئيا في الأسطوانة مما يسمح للضغط الجوي بدفع السائل الموجود في الحوض السفلي إلى الأسطوانة. نظريا، فإن السمات لا يمكن أن يزيد عن سمات السائل المكافئ للضغط الجوي، الذي هو 10.4m في حالة الماء، ولكن إذا قل الضغط عن ضغط البخار فإن السائل سيغلي في الأسطوانة وتتوقف المضخة عن أداء وظيفتها. وهكذا فإن العلو أو السمات المتاحة في حالة الماء يحدد بحوالي 8m عند درجات الحرارة العادية. أما الثانية فهي تعرف بالمضخة القسرية (force pump) وهي مشابهة إلى حد ما لطلبية السحب إلا أنه في هذا النوع يتم دفع السائل إلى أي ارتفاع مرغوب فوق خط مركز المضخة.

1.3 أهداف الدراسة الحالية (objectives of present study):

الهدف من هذه الدراسة هو التأكد من المواصفات المطلوبة للمضخة بمقارنتها بالمواصفات القياسية للجهة المنتجة وذلك من خلال مجموعة من الاختبارات التي يمكن إيجازها في الآتي:-

1. معايرة مقياس الفنشوري.
2. خصائص الأداء للمضخة الأولى المفردة عند السرعة القصوى. 3000rev/min وعند سرعة متوسطة مقدارها 2000rev/min.
3. أداء المضختان على التوالي وعلى التوازي عند السرعة القصوى التي تكون مكافئة لـ 3000rev/min.
4. تحديد الخصائص اللابعدية للمضخة المفردة الأولى.

5. تأثير تفاوت ضغط السحب على أداء المضخة.

الفصل الثاني

2.0 اختبار المضخات

عموماً يمكن إختبار أو فحص المضخات الديناميكية الدوارة في حالة واحدة أو أكثر من

الحالات الثلاث التالية:

- i. اختبارات التشغيل الروتيني.
- ii. اختبارات القبول أما في المصنع أو في موقع تشغيل المضخة.
- iii. اختبارات خاصة.

نتيجة لأهمية التقويم المضبوط لأداء المضخات بالنسبة للمصنع والمستخدم، تم عمل شفرات إختبار قومية وعالمية. هذه الشفرات تؤسس أحكاماً لإجراء الاختبارات على المضخات. كمثال لذلك، فإن شفرة اختبار معهد الهايدروليك البريطاني لمضخات الطرد المركزي تؤسس لخطوات إجراء الاختبارات وكتابة التقارير لمضخات الطرد المركزي. تعطي الشفرة حالات محددة لجميع أساليب التحديد الكمي للسعة، السمات وقدرة الدخل.

بالنسبة لاختبارات القبول ولكي يتم الحصول على بيانات إختيار أداء مضبوطة يجب توفير أجهزة الضبط والقياس المناسبة بعد معايرتها ومقارنتها بالمواصفات المطلوبة (المقبولة). الكميات الأربع التي يتم قياسها لكي يتم تقييم أداء مضبوط للمضخة يمكن حصرها في الآتي:

2.1 قياس السمات (Measurement of Head):

من الضروري التأكد من حالات سريان مستقر عند نقطة توصيل أجهزة القياس. لذلك يجب أن يكون طول الماسورة بعد أي صمام كوع أو أي جهاز قياس من 5 إلى 10 أضعاف قطر الماسورة. الأجهزة المستخدمة عادة في قياس السمات هي:

1. أعمدة الماء والمانومتيرات للأسمات المنخفضة.

2. مانوميتر زئبقي بعمود مفرد.

3. مانوميتر تفاضلي في شكل حرف U.

4. مقاييس محملة باليايات e.g أنبوب بوردون، مقاييس الرداخ والنفاخ لضغوط عالية.

2.2 قياس السعة (measurement of capacity):

معمداً

الأسلوب الأفضل لقياس السعة يكون معمداً على الوزن أو الحجم. الأسلوب الأول يعتمد على

دقة المقاييس، ودقة قياس الزمن. أما الثاني فيعتمد على دقة القياسات الخطية لتحديد حجم الوعاء وقياس الزمن.

يتطلب الأسلوبان زمن كبير لإكمال اختبار المضخة عندما يكون هناك أكثر من نقطة أداء يجب قياسها. لهذا السبب فإن معظم اختبارات المصنع يتم عملها باستخدام مقاييس فنشوري بما أن الدقة المتحصل عليها بواسطة مقياس فنشوري مركب جيداً هي حوالي $(\pm \frac{1}{2}\%)$. بالإضافة إلى مقياس الفنشوري هنالك مقاييس أخرى يتم استخدامها مثل الفوهة، اللوح المثقب وأنبوب بيتون. جميع هذه الأجهزة الحركية (kinetic meters) تتطلب حالات سريان منتظم. السريان غير المنتظم سيؤثر على قيمة المقياس وتبعاً لذلك دقة المقياس. من الأهمية بمكان أن يتوافق مقياس المقياس مع مدى السعة المتوقع. ينصح أن تكون سرعة الماء خلال عنف الفنشوري، أو الفوهة أو اللوح المثقب أكبر من 6m/s حتى يمكن إكمال القياس بالدقة المطلوبة.

لتوفير سريان منتظم من مضخة طرد مركزي إلى مقياس مباشرة يجب تركيب ماسورة مستقيمة بين المضخة والمقياس لا يقل طولها عن عشرة أضعاف قطرها. لنتائج جيدة يجب توفير ماسورة مستقيمة طولها لا يقل عن 6 أضعاف قطرها قبل وبعد المقياس.

2.3 قياس قدرة الدخل (Measurement of power Input):

يمكن قياس القدرة الحصانية المدخلة لمضخة باستخدام دينامومترات نقل أو التواء

(transmission or torsion dynamometers)، أجهزة قياس العزم من نوع مقياس الانفعال

وباستخدام محركات معايرة كهربائية.

إذا تمت إدارة المضخة بواسطة توربينة بخارية أو محرك زيت فسيكون من الصعوبة بمكان تقييم القدرة الحصانية الحقيقية التي يتم إمدادها إلى عمود المضخة.

2.4 قياس السرعة (Measurement of speed):

يتم قياس سرعة عمود المضخة بواسطة عداد لفات وساعة إيقاف أو تاكوميترات أو أجهزة إلكترونية.

في نظام ديناميكي، مثل مضخة في حالة تشغيل ستوثر البيئة المحيطة وبيئة المضخة في حدوث تفاوتات في قراءات الأجهزة. التفاوتات عبارة عن تأرجحات حول قيمة متوسطة عند فترة زمنية قصيرة وتحدث أثناء الزمن الذي تؤخذ عنده قراءة أو مشاهدة مفردة. أثبتت الدراسات الهندسية أنه وخلال حدود معينة يمكن تجاهل هذه التفاوتات باعتبارها حالات سريان مستقر.

حسب شفرات الاختبار يمكن حصر التفاوتات المقبولة فيما يلي:-

±2% لضغط التصريف.

±3% لضغط السحب.

±2% للسعة.

±3% للسرعة.

±1% للقدرة الحصانية الفعلية.

جميع هذه القيم يتم تطبيقها عند نقطة الكفاءة القصوى لمضخة تحت الاختبار في اختبار المصنع أو المعمل يمكن التحكم في هذه التفاوتات في حدود القيم المذكورة عالية وذلك بوضع أجهزة الاستشعار في مكانها الصحيح.

للإنتاج التجاري للمضخات للاستخدام العام يعتمد المستخدمون على تحكيم الجودة وبرامج اختبارات المصنع للحصول على قبول الأداء. أما في حالة المضخات الضخمة مثل خدمة الماء الخام

إلى محطة تنقية، إمداد أبراج التبريد، أو خدمة الحماية من الحرائق من العادة الحصول على اختبار

القبول كجزء من العقد (التعاقد).

الفصل الثالث

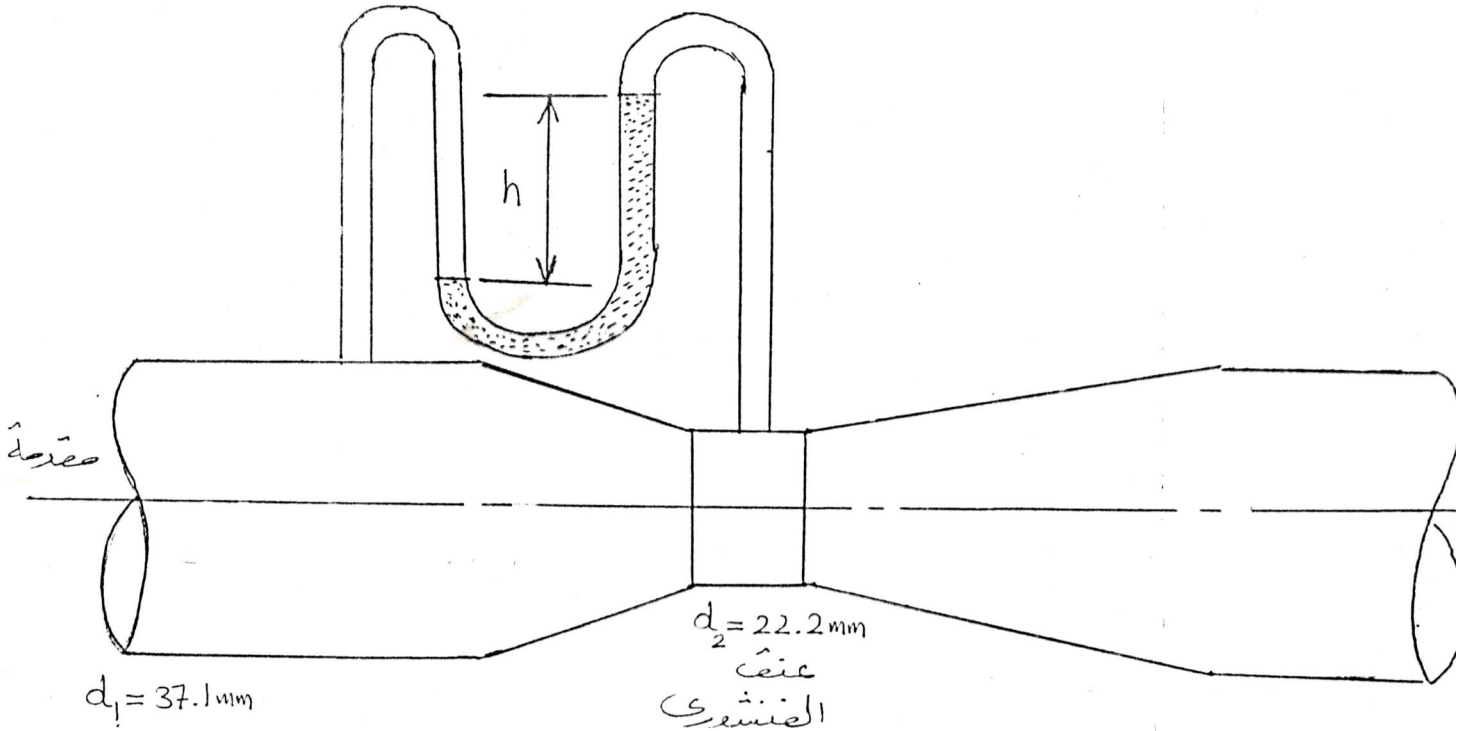
3.0 دراسة نظرية (Theoretical study)

3.1 معايرة مقياس الفنشوري (calibrating the venturi-meter):

كما ذكر سابقاً في المقطع (2.2) من الفصل الثاني أن الأسلوب الأكثر شيوعاً لقياس السرمان هو استخدام جهاز الضغط التفاضلي. مقياس الفنشوري هو أحد هذه الأجهزة ويملك الأفضلية عندما يتم مقارنته بأساليب أخرى لإعطاء فروقات ضغوط صغيرة.

يتم توضيح المقياس تخطيطياً في الشكل (3.1). يتكون المقياس من ممر متقارب متباعد مزود بوصلات ضغط عند المدخل والعنف. يتم قياس فرق الضغط بين المدخل والعنف بواسطة مانوميتر في

شكل حرف U.



شكل (3.1) - مقياس الفنشوري وأنتوب المانوميتر في شكل

حرف U

يتم إعطاء العلاقة بين السريان الحجمي "Q" وفرق الضغط "h mm Hg" كما في المرجع {1}

بالمعادلة التالية:-

$$Q = C_D a_2 \sqrt{\frac{1}{1 - \frac{a_2^2}{a_1^2}} \times \frac{2gh(e_{Hg} - e_w)}{10^3 e_w}} \quad (3.1)$$

حيث a_2 = مساحة المقطع العرضي للعنق بالـ mm^2

a_1 = مساحة المقطع العرضي للمدخل بالـ mm^2

e_{Hg} = كثافة الزئبق ($13350 kg/m^3$)

e_w = كثافة الماء ($10^3 kg/m^3$)

C_D = معامل التصريف للمقياس.

تكون الأبعاد الاسمية للمقياس كما يلي:-

$$d_1 = 37.1 \text{ mm} = \text{قطر المدخل}$$

$$d_2 = 22.2 \text{ mm} = \text{قطر العنق}$$

بتعويض القيم الاسمية لـ d_1 و d_2 في المعادلة (3.1) للحصول على:

$$Q = 0.238 C_D \sqrt{h} \quad (3.2)$$

حيث $C_D = C_1 \times C_2 \times C_3$

C_1 = معامل التصريف

C_2 = تصحيح رقم رينولوز.

C_3 = تصحيح الأقطار.

يمكن الحصول على القيم C_1, C_2, C_3 من مرجع {2} mechanical Hand book حسب توصية

المؤسسة البريطانية للمعايير والقياسات (B.S.1042) إذا كانت ترتيبية المواسير تنطبق مع التوصيات

في هذا المرجع.

في هذه الحالة، ستكون هذه القيم كما يلي:-

$$C_1=0.99$$

$$C_3=0.98$$

$$C_2=f(Re)$$

$$Re = \frac{\rho u d}{\mu} \text{ حيث}$$

حيث e = كثافة الماء

u = سرعة الماء في الماسورة.

d = قطر الماسورة.

μ = معامل اللزوجة الديناميكي.

وبالتالي فإن المعادلة (3.2) ستخفض إلى:

$$Q = 0.231 C_2 \sqrt{h} \quad (3.3)$$

على أي حال، تركيب مقياس الفنشوري بعد إنحناء مزدوج وطول الماسورة المستقيمة بين الانحناء المزدوج ومقياس الفنشوري يكون أقل من ذلك الموصوف في المرجع {2}، هذا يعني أن مقياس الفنشوري يجب معايرته.

3.2 خلفية نظرية عن المضخات (pump theoretical background):

جميع الماكينات الديناميكية الدوارة لها جزء دوار يسمى بالعجلة أو العضو الدوار، يسري خلاله المائع باتصال. اتجاه سريان المائع بالنسبة لمستوى دوران العجلة يميز أصناف متنوعة من الماكينات الديناميكية الدوارة. عندما يكون السريان متعامداً مع محور دوران العجلة يُسمى السريان نصف قطرياً وعندما يكون السريان موازياً لمحور العجلة يسمى السريان سرياناً محورياً. في ماكينات السريان نصف القطري التي يطلق عليها أيضاً ماكينات الطرد المركزي، فبالرغم من أن المائع يتقارب من العجلة محورياً إلا أنه يغير اتجاهه عند مدخل الماكينة بحيث يكون السريان خلال العجلة في مستوى دوران العجلة.

الماكينات مختلطة السريان تشكل تصنيفاً ثالثاً بما أن السريان خلالها يكون جزئياً محورياً وجزئياً نصف قطرياً.

كل من المضخات والتوربينات يمكن أن تكون محورية السريان، نصف قطرية السريان أو مختلطة السريان. جميع العجلات تتكون من قرص إسناد أو أسطوانة تكون الريش متصلة عليه. حركة الريش هي التي تتسبب في حركة المائع أو العكس بالعكس في حالة التوربينات. في أي حالة هنالك قوى مسلطة على الريش وبما أنها تدور مع العجلة فإن العزم يُنقل بمعدل التغير في كمية الحركة الزاوية.

بتطبيق قانون نيوتن الثاني إلى الحركة الزاوية.

معدل التغير في عزم كمية الحركة الزاوية = العزم على العجلة

والآن:

نصف القطر \times السرعة المماسية \times الكتلة = كمية الحركة الزاوية

وعليه:

$$\text{كمية الحركة الزاوية المدخلة إلى العجلة في الثانية.} = \left(\frac{W}{g} \right) v_{w_1} r_1$$

$$\text{كمية الحركة الزاوية المخرجة من العجلة في الثانية.} = \left(\frac{W}{g} \right) v_{w_2} r_2$$

حيث $W =$ وزن المائع في الثانية.

$v_{w_1} =$ المكونة المماسية للسرعة المطلقة.

$r_1, r_2 =$ هما أنصاف أقطار العجلة الخارجي والداخلي على الترتيب.

عليه:

$$\text{معدل التغير في كمية الحركة الزاوية.} = \frac{W}{g} (v_{w_2} r_2 - v_{w_1} r_1)$$

العزم المنقول = معدل التصريف كمية الحركة الزاوية

بما أن الشغل المبذول لكل وحدة زمن يمكن إعطاؤها بحاصل ضرب العزم والسرعة الزاوية،

$$T \omega = \text{الشغل المبذول كل ثانية.}$$

$$= \frac{W}{g} (v_{w_2} r_2 - v_{w_1} r_1) \omega \quad (3.4)$$

$$u = r \omega \quad \text{لكن،}$$

$$r_1 \omega_1 = u_1 \quad \text{وبالتالي}$$

$$r_2 \omega_2 = u_2$$

حيث u هي السرعة المحيطة للعجلة و ω السرعة الزاوية للعجلة.

وبالتالي بالتعويض في المعادلة (3.4) سنتحصل على:-

$$E_i = \frac{W}{g} (u_2 v_{w_2} - u_1 v_{w_1}) \quad \text{.....(3.5)}$$

تكون وحدة E_i بالـ J/sec، وبما أن الشغل المبذول كل ثانية بالعجلة على المائع هو معدل انتقال

الطاقة بالتالي:

$$(E) = E_i / W \quad \text{معدل انتقال الطاقة لكل وحدة وزن من المائع المناسب.}$$

(3-6)

حيث:

$$E = \frac{u_2 v_{w_2} - u_1 v_{w_1}}{g} \quad (3.6)$$

$$\frac{J}{s} \Big/ \frac{N}{s} = \frac{J}{N} = \frac{N \cdot m}{N} = m \quad \text{وحدة E هي،}$$

تعرف المعادلة (3.6) عالية بمعادلة أويلر (Euler's eqn) وبما أن وحدتها هي الأمتار كما

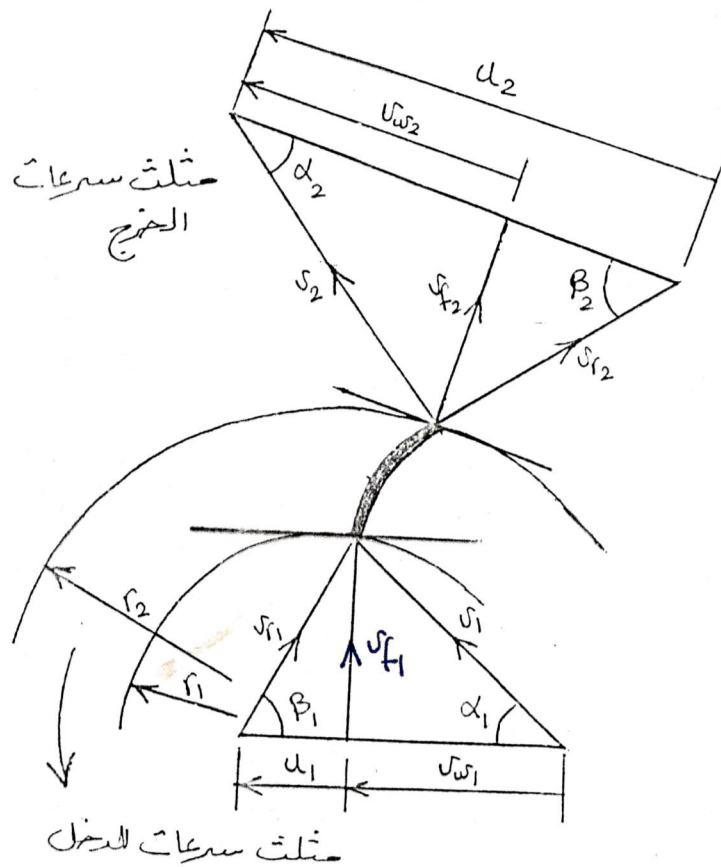
في جميع عناصر معادلة بيرنولي، بالتالي يمكن استخدامها بالترافق معه. بما أن وحدة E يمكن

تخفيضها إلى الأمتار للمائع المناول بالتالي يمكن الرجوع إليها كسمت أويلر (Euler's Head)، وفي

حالة المضخات فهي تمثل السمات النظري المثالي " H_{th} " الذي يستفاد منه في التعبير عن سمات أويلر بدلالات سرعات المائع المطلقة بدلا عن مكوناتها.

$$i.e \quad H_{th} = \frac{u_2 v_{w_2} - u_1 v_{w_1}}{g} \quad m \quad (3.7)$$

من مثلثات السرعة، شكل رقم (3.2) أدناه،



شکل رقم (3.2) مثلثات سرعات الدخل والخرج
لمضخة طرد مركزي

$$v_{w_1} = v_1 \cos \alpha_1, \quad v_{w_2} = v_2 \cos \alpha_2$$

بحيث أن:

$$E = \frac{u_2 v_2 \cos \alpha_2 - u_1 v_1 \cos \alpha_1}{g} \quad (3.8)$$

لكن باستخدام قانون جيبس تمام الزوايا

$$v_{r_1}^2 = u_1^2 + v_1^2 - 2u_1 v_1 \cos \alpha_1$$

$$u_1 v_1 \cos \alpha_1 = \frac{1}{2}(u_1^2 - v_{r_1}^2 + v_1^2)$$

بالمثل،

$$u_2 v_2 \cos \alpha_2 = \frac{1}{2}(u_2^2 - v_{r_2}^2 + v_2^2)$$

بالتعويض في المعادلة (3.8)

$$E = \frac{(v_2^2 - v_{r_2}^2)}{2g} + \frac{(u_2^2 - u_1^2)}{2g} + \frac{(v_1^2 - v_{r_1}^2)}{2g} \quad (3.9)$$

في هذا التعبير، فإن العنصر الأول يرمز لزيادة طاقة سرعة المائع في العجلة. العنصر الثاني

يمثل الطاقة المستخدمة في وضع المائع في حركة دائرية حول محور العجلة (دوامة قسرية). أما

العنصر الثالث فهو استرجاع للسمت السكوني نتيجة انخفاض السرعة النسبية للمائع المار خلال

العجلة. شكل (3.2).

(3.3) تطبيق معادلة أويلر لماكينات سريان الطرد المركزي:

(Application of Euler's equation to centrifugal flow machines)

في حالة مضخات الطرد المركزي، يتم توضيح مثلثات السرعة كما في الشكل (3.2) بما أنه،

في العموم $u = r\omega$ ، يتبع ذلك أن سرعات الريشة المماسية عند المدخل والمخرج تعطي بـ:

$$u_1 = r_1 \omega$$

$$u_2 = r_2 \omega$$

بما أن السريان عند المدخل والمخرج يكون من خلال أسطح أسطوانية ومكونات السرعة

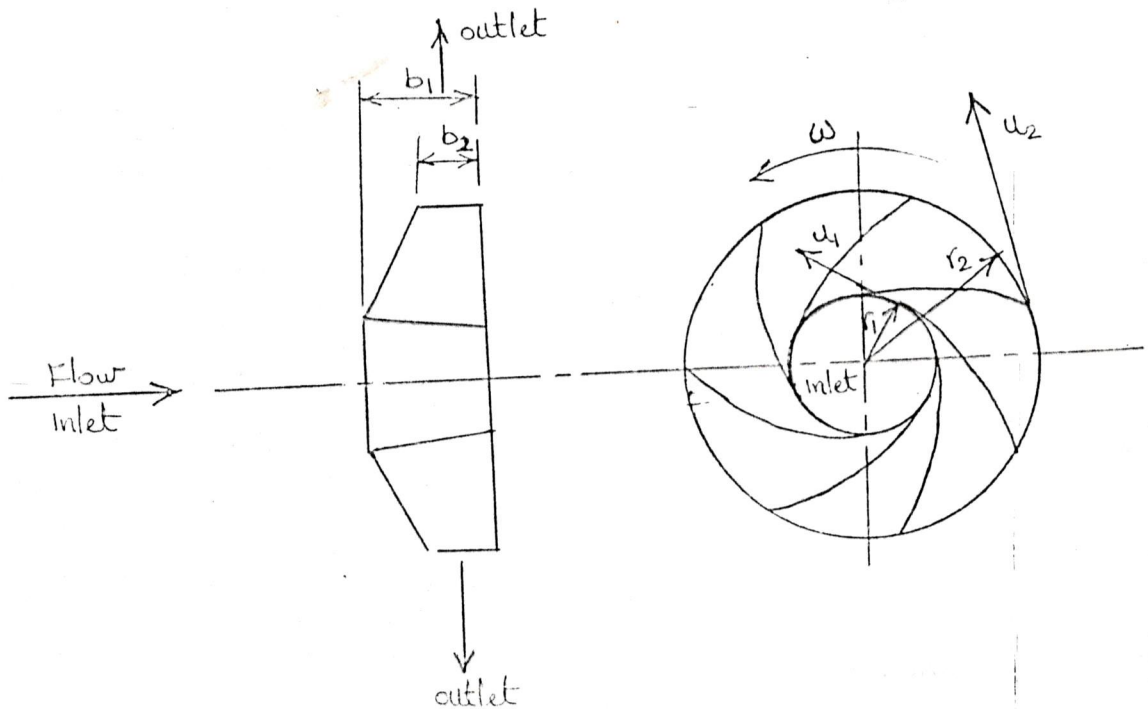
المتعامدة عليهما هما v_{f_1} ، v_{f_2} ، فإن معادلة استمرار سريان الكتلة m تعطي بـ:

$$m = e_1 2\pi r_1 b_1 v_{f_1} = e_2 2\pi r_2 b_2 v_{f_2} \quad (3.10)$$

حيث b_1 ، b_2 هما عمق العجلة كما هو واضح في الشكل (3.3) و e_1 ، e_2 هما كثافتي

المدخل والمخرج. لسريان لا انضغاطي، تتخفف المعادلة إلى:

$$r_1 b_1 v_{f_1} = r_2 b_2 v_{f_2} \quad (3.11)$$



شكل (3.3) - مقطع أمامي وجانبي لعجلة طرد مركزي

بافتراض أن v_2, v_1, w, m هي معلومة المقدار، يتم عادة استخدام الافتراضات التالية لكي يتم

رسم مثلثات السرعة.

i. تكون السرعة المطلقة عند المدخل نصف قطرية، بالتالي:

$$v_1 = v_{f_1} \quad , \quad v_{w_1} = 0$$

أما إذا كانت هنالك مكونة سرعة تدويم عند المدخل v_{w_1} ، فيتم حساب v_{f_1} من المعادلة (3.11)

ii. تكون زاوية الريشة عند المدخل β_1 بحيث أن الريشة تستقبل السرعة النسبية مماسياً. هذا

الافتراض يعرف بحالة عدم حدوث صدمة ويتم تطبيقه لتحديد زاوية مدخل الريشة خلال التصميم لكي يتم تخفيض فقودات المدخل.

هذا يتم تحقيقه عندما يتم تخفيض السريان ثلاثي الأبعاد بافتراض الفرضيات التالية:

1. تكون الريش رفيعة جداً.

2. يكون عدد الريش كبيراً جداً.

3. لا يكون هنالك تفاوتاً في السرعة في مستوى العجلة.

لمثلث الخرج، يتم افتراض أن المائع يغادر العجلة بسرعة نسبية مماسه لمخرج الريشة، وإن

سرعة السريان v_{f_2} تكون نصف قطرية.

من مثلث سرعة الخرج،

$$\cot \beta_2 = (u_2 - v_{w_2}) / v_{f_2}$$

$$v_{w_2} = u_2 - v_{f_2} \cot \beta_2 \quad \text{وبالتالي:}$$

بتعويض المعادلة عالية في معادلة أويلر (3.2) وبالأخذ في الاعتبار، $v_{w_1} = 0$

$$E = \left(\frac{u_2}{g} \right) (u_2 - v_{f_2} \cot \beta_2) \quad \text{_____ (3.12)}$$

3.4 خصائص الأداء (Performance characteristics):

كميات المائع المشتركة في جميع الماكينات الهيدروليكية هي معدل السريان الحجمي (Q) والسمت (H)، بينما الكميات الميكانيكية المرتبطة بالماكينة نفسها هي القدرة (P)، السرعة (N)، قطر العجلة (D) والكفاءة (η).

قدرة خرج مضخة تدور بسرعة معطاة هي معدل السريان المصروف من خلالها والسمت المولد. عليه فإن المخطط البياني للسمت ضد معدل السريان عند سرعة ثابتة بشكل خصائص الأداء الأساسي للمضخة. لكي يتم تحقيق هذا الأداء، يتطلب أن تكون هنالك قدرة دخل تشمل كفاءة نقل الطاقة. عليه من المفيد أيضا رسم مخطط القدرة (P) والكفاءة (η) ضد Q.

للماكينات الديناميكية الدوارة فإن مفهوم الخصائص ينبع دائما من معادلة أويلر. إذا تم استبدال E — H الذي هو انتقال الطاقة لكل وحدة وزن واستبدال v_{f_2} بـ Q/A_2 حيث A_2 هو مساحة مخرج العجلة فيتم الحصول على:

$$H = \frac{u_2}{g} \left(u_2 - \frac{Q}{A_2} \tan \beta_2 \right)$$

أو

$$H = \frac{u_2^2}{g} - \left(\frac{u_2}{A_2 g} \right) Q \tan \beta_2 \quad (3.13)$$

لسرعة دوران ثابتة ولقطر عجلة معطى بحيث أن $u_2 = \text{constant}$ و $A_2 = \text{const}$ فإن

المعادلة (3.13) يمكن كتابتها بالصورة التالية:

$$H = K_1 - K_2 Q \tan \beta_2 \quad (3.14)$$

المعادلة (3.14) عاليه توضح علاقة وظيفية محددة H, Q وتوضح خصائص الأداء للماكينة

الذي يتم تحديده مختبريا. وهكذا فإن المضخة كمثال تولد سمنا يعتمد على كمية المائع الذي يتم

مناولته. إضافياً، بما أنه لماكينات ذات ملامح تصميم ومقاسات متفاوتة ستفاوت فيها قيم K_1 , K_2 , β_2 وأيضاً خصائصها.

3.5 الفقدوات (Losses):

بما أن الماكينات ذات تركيب معقد فهناك فقودات عديدة تنشأ نتيجة لتشغيل الماكينة ولمرور المائع خلال الماكينة . هذه الفقدوات يتم تصنيفها إلى قسمين رئيسيين هي فقودات هيدروليكية وفقدوات ميكانيكية .

3.5.1 الفقدوات الهيدروليكية (Hydraulic losses):

3.5.1.1 فقودات العجلة (Impeller losses)

تشتمل على فقودات الاحتكاك نتيجة للتلامس فيما بين المائع المتحرك والأسطح المصممة ، وفقدوات الانفصال أو الصدمة نتيجة لتغير اتجاه سريان المائع .

إذا كان h_i هو فقد السميت في العجلة و Q_i هو معدل السريان الحجمي خلال العجلة ، بالتالي

فإن فقد قدرة العجلة هو :

$$P_i = \ell g h_i Q_i \quad (3.15)$$

3.5.1.2 فقودات التسرب (Leakage losses)

المائع الذي يمر خلال العجلة Q_i هو ليس كل المائع المناسب خلال المضخة هذا ببساطة يكون بسبب أن بعض المائع يمر خلال الخلوصات بين العجلة والغلاف . ودائماً ما تناول العجلة حجماً أكبر من ذلك المصترف بواسطة المضخة إذا كانت q ترمز إلى معدل سريان المائع المسرب و H_i هو السميت الإجمالي عبر العجلة ، بالتالي فإن فقد القدرة نتيجة للتسرب هو :

$$P_L = e g H_i q \quad (3.16)$$

3.5.1.3 فقودات الغلاف (Casing losses)

هو فقد احتكاكي نتيجة لتلامس المائع مع الغلاف قبل وبعد دخوله وخروجه من العجلة . إذا كان السريان خلال الغلاف وبالتالي خلال المضخة هو Q (الذي هو أقل قيمة من Q_i) ، وفقد السمتم في الغلاف هو h_c ، بالتالي فإن فقد القدرة في الغلاف هو

$$P_c = e g h_c Q \quad (3.17)$$

3.5.2 الففودات الميكانيكية (P_m) (Mechanical Losses)

هي فقودات الطاقة مثل تلك التي في المحامل وموانع التسرب وففودات الاحتكاك القرصية (ففودات الرياح) ففودات القرص يتم تعريفها بالقدرة المطلوبة لتدوير العجلة بالسرعة المطلوبة بدون أي شغل مبدول بواسطة العجلة على المائع.

يمكن الآن تطبيق معادلة موازنة الطاقة للماكينة كما يلي:

قدرة دخل العمود = الففودات الميكانيكية + الففودات الهيدروليكية (العجلة ، التسرب، الغلاف) + قدرة المائع المستفاد.

$$P_i = P_m + e g [h_c Q_i + H_c q + h_c Q + H Q] \quad (3.18)$$

حيث:

P_i = قدرة دخل العمود

P_m = الففودات الميكانيكية

$e g h_c Q_i$ = ففودات العجلة

$e g H_c q$ = ففودات التسرب

$e g h_c Q$ = ففودات الغلاف

$H Q$ = قدرة المائع المستفاد

3.6 الكفاءات (efficiencies):

3.6.1 الكفاءة الإجمالية (η_o):

هي الكفاءة التي دائما ما يتم رسمها بيانيا كواحدة من خصائص الأداء لمضخة لأنها ترجع إلى الماكينة ككل وبالتالي فهي هامة.

$$\eta_o = \frac{\text{قدرة خرج الماكينة}}{\text{قدرة الدخل للماكينة}} \quad \text{أو} \quad \eta_o = \frac{\text{قدرة خرج المائع}}{\text{قدرة الدخل إلى العمود}} = \frac{egQH}{P_i} \quad (3.19)$$

3.6.2 الكفاءة الميكانيكية η_m :

إذا كانت P_m هي فقودات القدرة الميكانيكية، بالتالي فإن قدرة الدخل إلى العجلة هي $P_i - P_m$

$$\eta_m = \frac{P_i - P_m}{P_i} \quad (3.20)$$

3.6.3 كفاءة العجلة (η_i):

هذه تجمع جميع الفقودات في العجلة، بالتالي:

$$\eta_i = \frac{\text{قدرة المائع المتولد بالعجلة}}{\text{القدرة الميكانيكية التي يتم إمدادها إلى العجلة}}$$

$$\eta_i = \frac{egH_i Q_i}{P_i - P_m}$$

لكن من المعادلة (3.20)، $P_i - P_m = \eta_m P_i$ ، بالتالي فإن:

$$\eta_i = \frac{egH_i Q_i}{\eta_m P_i} \quad (3.21)$$

3.6.4 الكفاءة الحجمية (η_v):

$$\eta_v = \frac{\text{معدل السريان خلال العجلة}}{\text{معدل السريان خلال الماكينة}}$$

$$= \frac{Q}{Q_i} = \frac{Q_i - q}{Q_i} \quad (3.22)$$

3.6.5 كفاءة الغلاف (η_c)

$$\eta_c = \frac{\text{قدرة خرج المائع المستفاد}}{\text{قدرة الخرج المولدة بواسطة العجلة - فقد التسرب}}$$

$$= \frac{e g Q H}{e g H_i Q_i - e g H_i q} = \frac{H}{H_i} \quad (3.23)$$

يمكن إثبات أن الكفاءة الإجمالية تكون مساوية لحاصل ضرب الكفاءة العديدة المذكورة عاليه.

$$\eta_o = \eta_m \eta_i \eta_v \eta_c \quad (3.24)$$

3.6.6 الكفاءة الهيدروليكية (η_H):

تعرف فقودات العجلة واحتكاك الغلاف التي يرجع إليها الفقودات الهيدروليكية.

$$\eta_H = \frac{\text{السمت الفعلي}}{\text{السمت النظري}} = \frac{H}{H_m} = \eta_i \eta_c \quad (3.25)$$

السمت النظري

بالتالي فإن المعادلة (3.24) تصبح كالآتي:

$$\eta_o = \eta_m \eta_H \eta_v \quad (3.26)$$

3.7 تأثير الانزلاق على نظرية أويلر (Slip effect on Euler's theory):

لقد ذكر في مقطع سابق أن نقل الطاقة الفعلية بواسطة مضخة يكون أصغر من ذلك المتوقع

بمعادلة أويلر، ليس هذا فقط نتيجة للفقودات الاحتكاكية المذكورة عالية، لكن أيضا بسبب الانزلاق الذي

له أثر أكبر على المغادرة (الانحراف) من نظرية أويلر.

في عجلة مضخة الطرد المركزي فإن الريش تؤدي عملاً على المائع بتسليط قوة دفع عليه. هذا

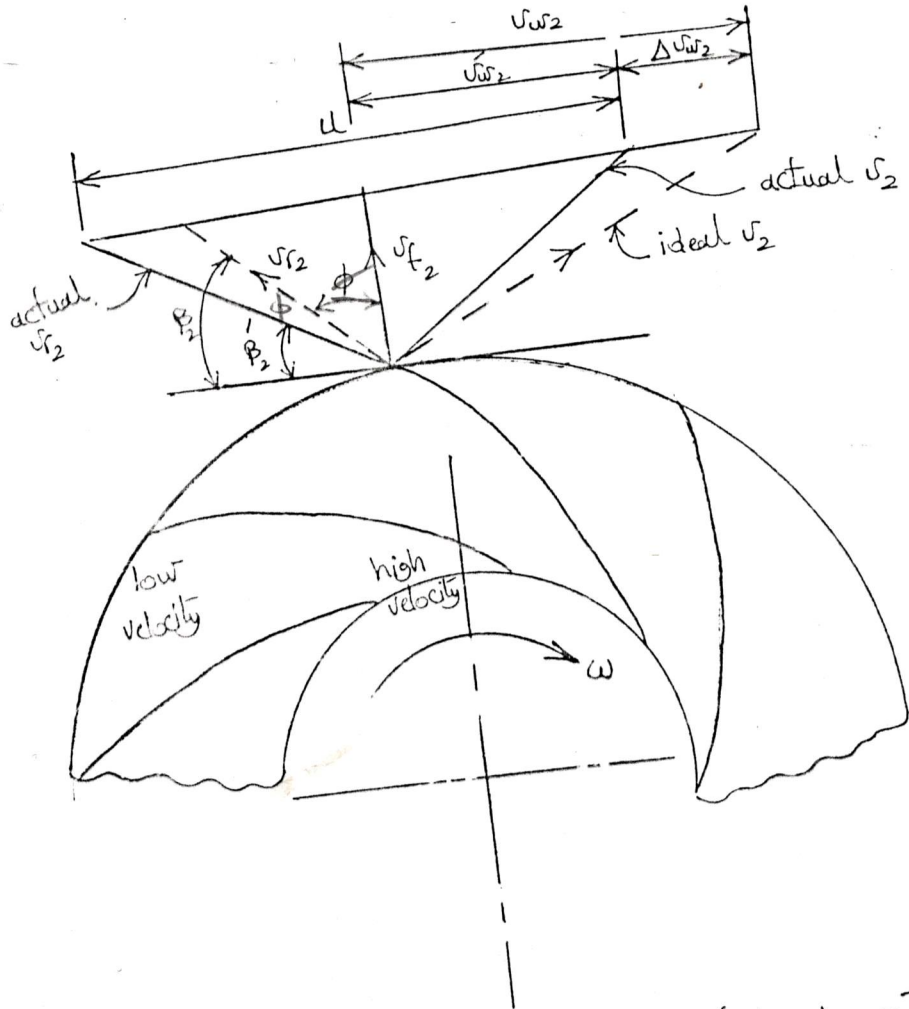
يتم أدائه بالسطح الأعلى أو الأمامي للريشة. يتبع ذلك أن ضغط المائع على هذا الجانب يكون أكبر من

ذلك على الجانب الآخر، كما هو واضح في الشكل رقم (3.4) أدناه. بالتالي، فإن السرعة في الجانب

الخلفي تكون أكبر. هذا التوزيع الغير منتظم للسرعة يكون مسئولاً عن الاتجاه المتوسط للسريان

المغادر للعجلة الذي يساوي $\beta_2'' = (\beta_2 - \phi)$ وليس β_2 الذي يفترض أن يكون في حالة السريان المثالي. هذا التأثير يتسبب في خفض مكونة السرعة المماسية من v_{w_2} إلى v_{w_2}' ، حيث يكون الانخفاض بمقدار Δv_w ويسمى بالانزلاق، يتم تعريفه كآلاتي:

$$S_f = \frac{v_{w_2}'}{v_{w_2}} \quad (3.27)$$



شکل (3.4) أثر تضييق السرعة على مثلث سرعات المخرج

هذا الانخفاض في قيمة v_{w_2} ينتج عنه انخفاض في سمت أويلر. هذا التأثير لا ينتج عن الاحتكاك

وبالتالي لا يمثل فقداً إنما ينشأ من تحليل السريان المثالي لتوزيع الضغط والسرعة.

عليه إذا كان السمت النظري المقترح بواسطة معادلة أويلر مكافئاً لـ $H_{th} = \frac{u_2 v_{w_2}}{g}$ يتبع ذلك أن

صافي السمت النظري $(H_{th})_n$ الذي يسمح بعامل الانزلاق يكون مساوياً لـ:

$$(H_{th})_n = \frac{u_2 v'_{w_2}}{g} = H_{th} S_f \quad (3.28)$$

من الممكن الآن ربط الخصائص النظرية المتحصل عليها من معادلة أويلر بالخصائص الفعلية

باعتبار الفقدوات المختلفة. المعادلات التي تحكم هذه الفقدوات يتم توضيحها أدناه:

3.7.1 سمت فقودات الصدمة (h_{sh}) :

$$h_{sh} = K (Q - QN)^2 \quad (3.29)$$

حيث QN هي معدل السريان الحجمي المقابل لنقطة الكفاءة القصوى في منحنى الأداء. يتم افتراض

أن فقودات الصدمة تكون مكافئة للعنصر عند $Q = QN$.

3.7.2 سمت فقودات الاحتكاك (h_f) :

$$h_f = \bar{k} Q^2 \quad (3.30)$$

حيث \bar{k} هو مقدار ثابت لماكينة معطاه.

3.7.3 الفقدوات الميكانيكية:

لا تؤثر الفقدوات الميكانيكية على خصائص السمت ضد معدل السريان، لكنها تؤثر فقط على

الدخل وبالتالي الكفاءة الإجمالية.

3.8 قوانين التشابه (Similarity Laws)

من المرغوب فيه أحيانا التنبؤ بأداء ماكينة كبيرة الحجم من نموذج بنفس التصميم. يقترح التحليل البعدي أن قوانين التشابه تحكم أداء ماكينات السريان من نفس النوع.

بالتحليل البعدي يمكن اشتقاق المعادلة التالية:

$$\frac{P}{N^3 D^5 e} = \phi \left[\left(\frac{Q}{N D^3} \right); \left(\frac{g H}{N^2 D^2} \right); \left(\frac{\mu}{N D^2 e} \right); \left(\frac{k}{N^2 D^2 e} \right); \left(\frac{c}{D} \right) \right] \quad (3.31)$$

حيث k_p هو معامل القدرة $\frac{P}{N^3 D^5 e}$

k_Q هو معامل السريان أو $\frac{Q}{N D^3}$

k_H هو معامل السمات $\frac{g H}{N^2 D^2}$

الآن:

$$\frac{\mu}{N D^2 e} \propto \frac{\mu}{u D e} \propto \frac{1}{Re}$$

بما أن $N D \propto u$

الذي هو مقلوب رقم رينولتز.

وأيضاً، $\frac{k}{N^2 D^2 e} \propto \frac{1}{Ma}$ الذي هو معكوس رقم ماخ و $\frac{E}{D}$ هي الخشونة النسبية للمرات

الداخلية للماكينة.

يمكن كتابة المعادلة (3.31) كالآتي:-

$$k_p = \phi \left(k_Q, k_H, R_e, Ma, \frac{E}{D} \right) \quad (3.32)$$

العلاقة الوظيفية بين k_H, k_Q, k_p يمكن تحديدها مختبرياً وهي تحتوي على مجموعة من خصائص الأداء التي هي بنفس الشكل مثل خصائص P,H ضد Q، لكنها تمثل جميع عائلة الماكينات المتشابهة

هندسياً. i.e. إذا كان رقم ماخ Ma و $\frac{\epsilon}{D}$ هي نفسها لمضختين ، بالتالي:

$$k_{Q_1} = k_{Q_2}, k_{H_1} = k_{H_2}, k_{p_1} = k_{p_2}, \dots$$

أو عموماً ، بما أن

$$k_Q = \text{constant} , Q \propto N D^3 \quad (3.33)$$

$$k_H = \text{constant} , gH \propto N^2 D^2 \quad (3.34)$$

$$k_p = \text{constant} , P \propto e N^3 D^5 \quad (3.35)$$

بإعطاء أن Re و Ma و $\frac{\epsilon}{D}$ هي أيضاً نفسها.

عليه، بقوانين التشابه من الممكن التنبؤ بأداء ماكينة ذات مقياس وسرعة معطيان من خصائص الأداء المعلوم لماكينة متشابهة هندسياً.

3.9 السرعة النوعية (Specific speed) :

باستخدام قوانين التشابه من الممكن مقارنة ماكينات تتبع لعائلات مختلفة برسم خصائصها اللابعدية على نفس المخطط. وستكون المقارنة أكثر أهمية إذا تمت بمعلومية السرعة النوعية للماكينات.

لكي يتم تحقيق قاعدة جيدة للمقارنة، من العادة تحديد خصائص ماكينة تخيلية مطابقة في شكلها مع الماكينة الفعلية لكن يتم تخفيض مقاسها بحيث تصرف وحدة كمية عندما تشتغل ضد وحدة سمت. السرعة لمثل هذه الماكينة تسمى بالسرعة النوعية. يتم اشتقاق تعبير السرعة النوعية (N_s) من k_H ، k_Q بما أنهما المتغيران المهمان للمضخات.

عليه:

$$\left[\begin{aligned} \left(\frac{gH}{N^2 D^2} \right)_{actual} &= \frac{g \times 1}{N_s^2 D_s^2} \\ \left(\frac{Q}{N D^3} \right)_{actual} &= \frac{1}{N_s D_s^3} \end{aligned} \right] \quad H, \text{ and } Q, = 1 \text{ by definition}$$

بتقادي D_s من هذه التعبيرات سنتحصل على:

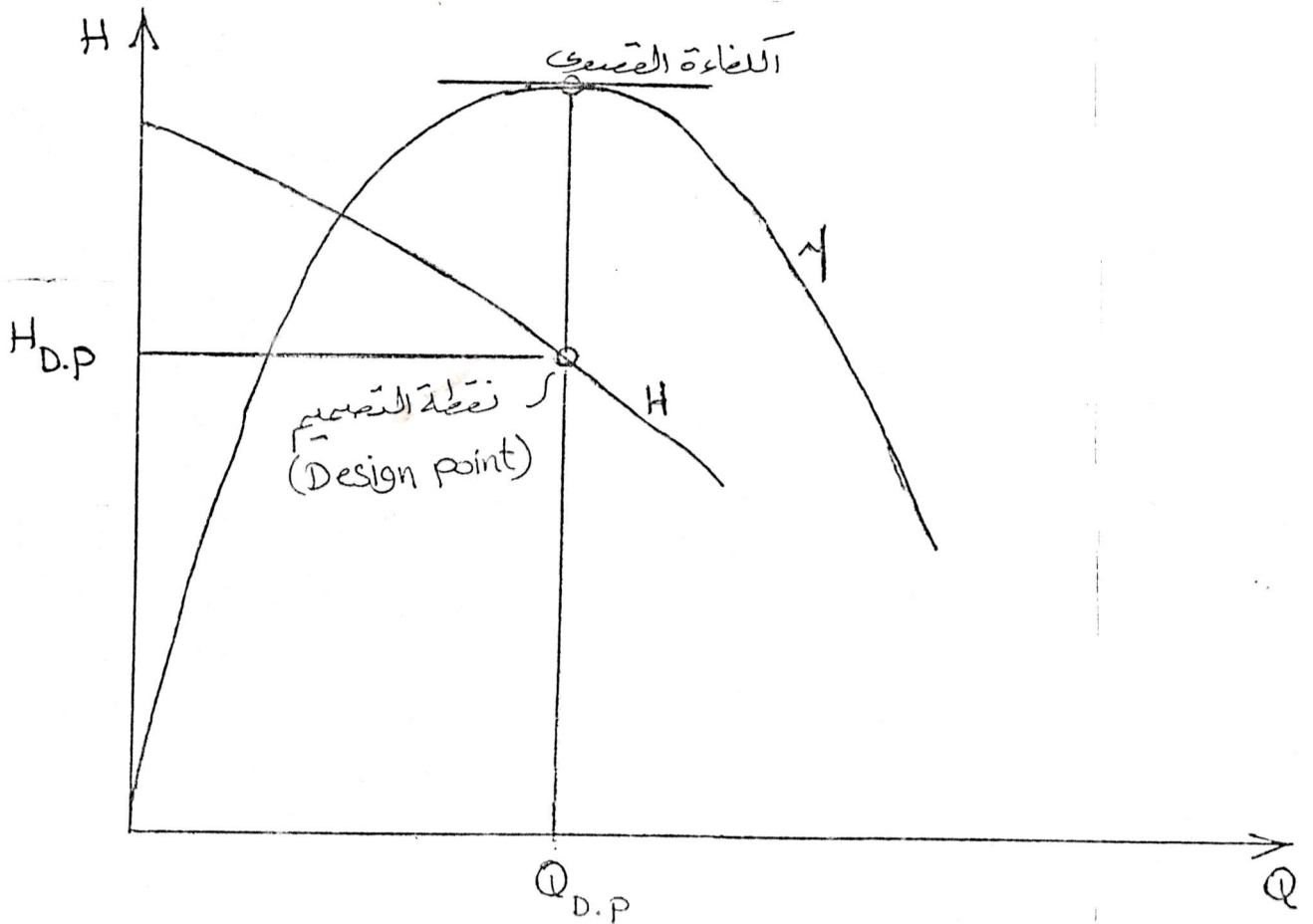
$$N_s = \frac{NQ^{1/2}}{H^{3/4}} \quad (3.36)$$

يمكن حساب السرعة النوعية لأي نقطة على منحنى الخصائص، لكن دائما ما يتم الرجوع

إليها كالسرعة النوعية عند نقطة التصميم للماكينة.

يتم عادة تحديد نقطة التصميم بدلالات معدل السريان والسمت المنتج ويتم ربطها بالكفاءة القصوى

للماكينة. السرعة النوعية هي وسيلة جيدة لأغراض التصنيف، المقارنة والتصميم: الشكل رقم (3.5)

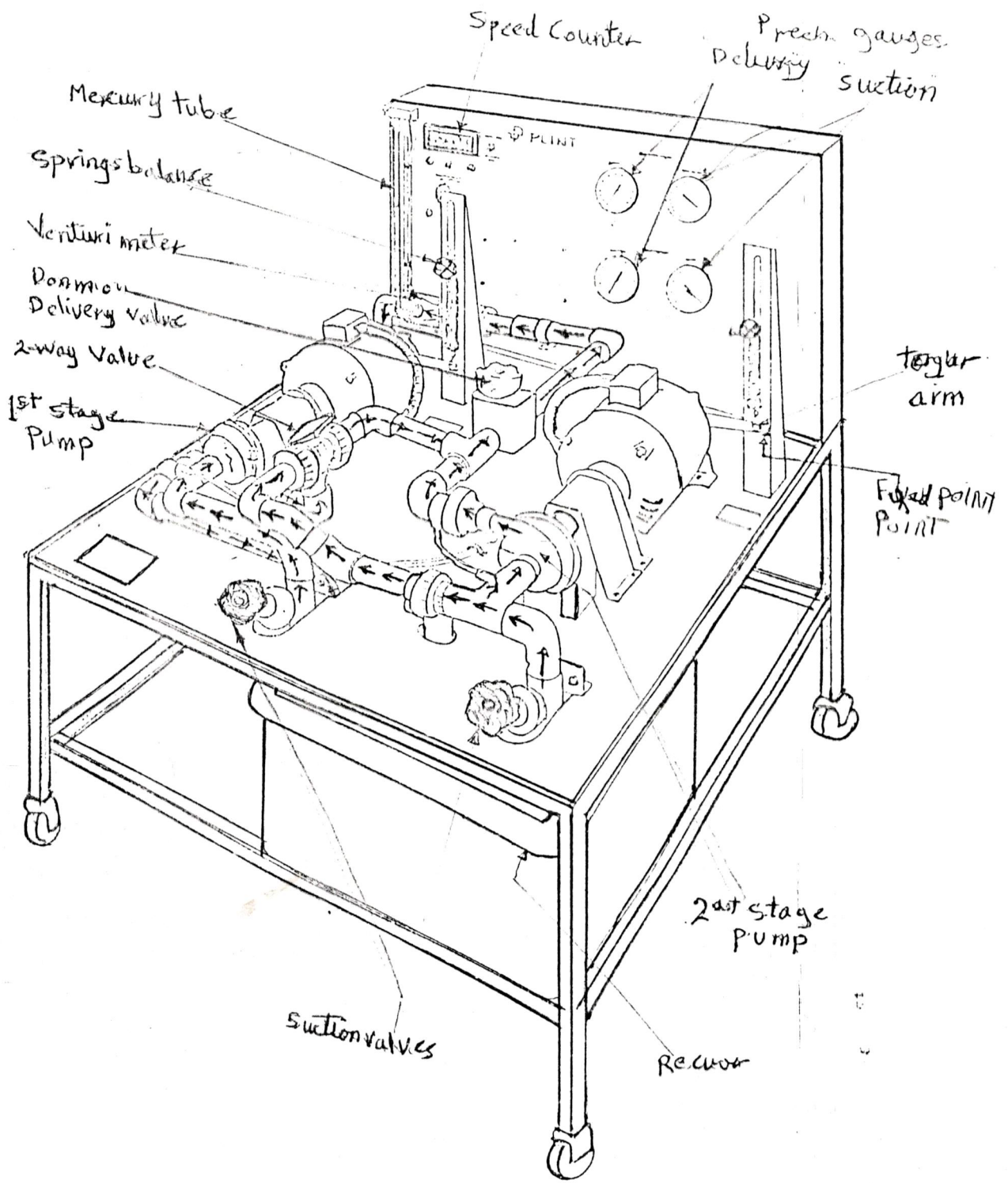


شال (3.5) - نقطة التصميم على منحنى خصائص أداء
صنفة طرد مركزي

3.10 التكيف في المضخات (Cavitations in pumps)

عدم انتظام السريان في المضخات يتسبب في التفاوت الواسع في الضغط. على جانب الضغط المنخفض في العجلة يمكن أن تكون هنالك مناطق يهبط فيها الضغط إلى قيم أقل بكثير من الضغط الجوي. على أي حال، في سائل فإن الضغط لا يمكن أن يهبط أسفل ضغط البخار عند درجة الحرارة المعينة. إذا وصلت أي نقطة لضغط البخار فإن المائع يغلي وتتكون فقاعات صغيرة من البخار بأعداد ضخمة. يتم حمل هذه الفقاعات على مجرى السريان وعند الوصول إلى نقطة يكون فيها الضغط بقيمة أكبر تنهار هذه الفقاعات فجائياً عندما يتكثف البخار إلى ماء مرة أخرى وينشأ عن ذلك فجوة حيث يتوزع السائل المحيط لملئها. المائع المتحرك من جميع الاتجاهات يصطدم بمركز الفجوة، معطياً ارتفاعاً عالياً لضغوط موضعية تنتشر من الفجوات بموجات ضغطية. بالرغم من أن هذه الضغوط تعمل لزمان صغير فقط على مساحة صغيرة جداً فإنها تسبب انهياراً كبيراً في السطح. تفشل مادة العجلة بالكلال مضافاً إليه التآكل حيث يصبح السطح منقراً بصورة سيئة. يكون مصاحباً للسريان التكيفي اهتزاز وضجيج عالي.

بما أن التكيف يبدأ عندما يصل الضغط إلى قيمة منخفضة جداً، من المحتمل أيضاً حدوثه عند نقاط تكون فيها السرعة أو ارتفاع ماسورة السحب عالية. المقدار وخصوصاً عند تلك النقاط التي تجتمع فيها السرعة العالية وارتفاع السحب العالي.



شکل (4.1) - جریان التجريفة

الفصل الرابع

4.0 دراسة مختبريه (Experimental study)

4.1 جهاز التجربة (Experimental Equipment):

جهاز المستخدم شكل رقم (4.1) تم تصنيفه بواسطة شركة بلنت وشركاؤها المحدودة التي هي رائدة في تصنيع الأجهزة العلمية المستخدمة في تدريس الهندسة. تم تصميم أطقم الاختبارات هذه كوحدة مبسطة تسمح بدراسة خصائص مضخات الطرد المركزي.

الوحدة ذات المرحلتين تتكون من طلمبتين متشابهتين يمكن تشغيلها إما على التوالي أو التوازي، وبالتالي السماح بدراسة مضخة متعددة المراحل. المضخة ذات المرحلتين هي ذات تصميم مبسط وتتكون من عجلة (Impeller) لها ريش مقوسة للإمام تعطي أقصى ضغوط تصريف على حساب فقد معين للكفاءة. تدار العجلة محامل كروية وهناك مانع تسرب للعمود يتكون من ياي حلقي كربوني يتم تحميله ضد وجه مستو ساكن.

كل مضخة يتم إدارتها بواسطة موتور ديناموميتر DC متغير السرعة يحمل على محامل محور ارتكاز ويتم تزويده بميزان زنبركي لقياس العزم وعداد لقياس السرعة. يتم أخذ القدرة من التيار الترددي الرئيسي (AC Mains) بواسطة متحكم تيرستور (thyristor controller)

4.2 مواصفات جهاز التجربة:

يتم حمل وحدتا المضخة على ترولكي يحمل مستودع للماء.

يتم سحب الماء خلال صمام رداخ (Foot vale) ومصفاة (strainer)، ويتم أخذ تصريف المضخة خلال مقياس فنشوري إلى المستودع مرة أخرى.

هنالك صمام على جانب التصريف المشترك وهنالك صمام على كل جانب سحب يتم تركيبهما بغرض التحكم في ضغوط السحب والتصريف. يتم بيان الضغوط بواسطة مقاييس محملة باليايات. هنالك صمام باتجاهين يتم تركيبه على جانب التصريف لمضخة المرحلة الأولى الذي يمكن بواسطته توجيه تصريف المضخة إلى مضخة المرحلة الثانية. وبالتالي فإن هذا الصمام يسمح للمضختين أن تكونا إما في ترتيبه التوالي أو التوازي.

كمية السريان يتم قياسها بواسطة مقياس فنشوري من بيرسيكس شفاف (transparent Perspex).

4.3 خطوات التجربة (Experimental procedures):

4.3.1 خطوات معايرة مقياس الفنشوري:

1. يتم فصل ماسورة تصريف الخرج أسفل مقياس الفنشوري (عند مدخلها إلى مستوى الماء)، ويتم إعادة توجيه السريان إلى معايرة (weighing tank).
2. للحفاظ على منسوب الماء في المستودع عند معايرة الفنشوري يتم توصيل خرطوم ماء من صنوبر ماء في الشبكة الرئيسية إلى المستودع.
3. يتم تسجيل الزمن المطلوب "t" لتصريف ماء مقداره 50 لتر (50.000cm³ e.g) في خزان قياس خطي) ويتم أيضا أخذ قراءة السميت المقابل h في مانوميتر شكل حرف U.
4. يتم تكرار الخطوة (3) عاليه عند أحد عشر موضعا لتغطية مدى معدل السريان الكامل ويتم توضيحها في ملاحق جدول رقم (أ-1)

5. معدل السريان "Q" يتم حسابه من:-

$$Q(L/sec) = \frac{\text{حجم الماء الذي يمثل 50 لتر (V)}}{\text{الزمن المطلوب لتصريف هذا المقدار (t)}}$$

6. يتم رسم منحنى \sqrt{h} ضد معدل السريان (Q) ومنه يمكن حساب المقدار الثابت C i.e ميل

المنحنى (= C) كما هو واضح في ملاحق الشكل رقم (ب - 1).

$$Q = C\sqrt{h}$$

4.3.2 خطوات اختبار المضخات:

يجب قياس أربعة لتقييم أداء المضخة هي العلو H، معدل السريان Q، قدرة الدخل P_i ،
والسرعة N.

الخطوات التي يجب إتباعها لأخذ نقطة اختبار مفردة لمضخة. تكون كالآتي:

1. يجب تشغيل المضخة لثوان قليلة قبل أخذ أي قراءات وذلك لضمان حالات مستقرة،

وهذا يجب إتباعه كل مرة عند أخذ قراءة مفردة.

2. يتم تسجيل ضغوط السحب والتصريف.

3. يتم قراءة العزم على الموتور بعد ضبط مستوى الميزان الزنبركي (i.e عند تطابق

نقطة ذراع العزم مع المؤشر الثابت).

4. يتم تسجيل سرعة المضخة كما مبين بالعداد الإلكتروني.

5. يتم قراءة مانوميتر مقياس الفنشورى.

4.3.2.1 قائمة الاختبارات التي يمكن إجراؤها:

مستخدما الخطوات الموصوفة يمكن إجراء اختبارات الأداء التالية:

A. أداء المضخة الأولى عند السرعة القصوى 3000rev/min وعند سرعة

متوسطة مقدارها 2000rev/min.

B. أداء المضختان على التوالي وعلى التوازي عند السرعة القصوى

.3000rev/min

C. الخصائص اللابعديّة للمضخة المفردة الأولى. في هذا الاختبار يجب أن يحافظ

على ضغط السحب ثابتاً في المقدار ويتم أخذ القراءات عند ضغوط تصريف

مختلفة عند نفس السرعة. يتم إجراء الاختبار عند مدى واسع من السرعات،

بالتالي يمكن الحصول على عائلة من منحنيات الأداء (characteristic

curves)

D. تأثير ضغط السحب المتغير على أداء المضخة. هذا الاختبار يتم إجراؤه على

مضخة المرحلة الأولى المفردة عند السرعة القصوى. في بداية الاختبار يكون

صمام السحب مفتوحاً تماماً بعدها يتم خفض السحب تدريجياً بغلق صمام

السحب بينما يتم ضبط التصريف بحيث أن مجموع ضغط السحب وضغط

التصريف يبقى ثابت المقدار.

4.4 نماذج العمليات الحسابات:

4.4.1 اختبار الأداء (A):

يتم توضيح القراءات المأخوذة من الجهاز فيما يلي:-

1. عند سرعة متوسطة مقدارها 2000rev/min:

$$h = 37 \text{ mm Hg}, F = 2.9 \text{ N}, p_2 = p_d = 0.14 \text{ bar}, p_1 = p_s = 0.14 \text{ bar}$$

حيث p_1 = ضغط السحب ، p_2 = ضغط التصريف، h = عمود الضغط التفاضلي بالـ mm

زئبق.

يتم حساب معدل السريان الحجمي بالمعادلة:-

$$h = 37 \text{ mm Hg}, F = 2.9 \text{ N}, p_2 = p_d = 0.14 \text{ bar}, p_1 = p_s = 0.14 \text{ bar}$$

حيث $p_1 =$ ضغط السحب ، $p_2 =$ ضغط التصريف ، $h =$ عمود الضغط التفاضلي بالـ mm زئبق.
يتم حساب معدل السريان الحجمي بالمعادلة:-

$$Q = C \sqrt{h}$$

$$= 0.2 \sqrt{37} = 1.22 \text{ Liter / sec}$$

وحساب قدرة الدخل (w_1) بالمعادلة:

$$\text{قدرة الدخل } w_1 = \frac{F \times N}{K}$$

حيث

$F =$ القوة على الميزان الزنبركي

$N =$ سرعة الدوران بالـ (rev/min)

$K =$ ثابت الديناموميتر = 53.35

بالتالي قدرة الدخل،

$$\text{قدرة الدخل } w_1 = \frac{2.9 \times 2000}{53.35} = 109w$$

ويتم حساب القدرة الايدروليكية (w_2) بالمعادلة:

$$\text{القدرة الهايدروليكية } w_2 = Q \times p$$

حيث $p =$ الضغط الكلي = ضغط السحب + ضغط التصريف = $p_d + p_s$

$$\therefore w_2 = 1.22 \times 10^{-3} \times 28 \times 10^3 = 34w$$

$$\eta_{\text{overall}} = \frac{\text{قدرة الخرج}}{\text{قدرة الدخل}} = \frac{34}{109} = 31 \text{ ، والكفاءة الإجمالية،}$$

قدرة الدخل

2. عند سرعة قصوى مقدارها 3000 rev/min:

$$h = 77 \text{ mm Hg}, p_2 = p_d = 0.36 \text{ bar}, p_1 = p_s = 0.24 \text{ bar}, Q = 0.2 \sqrt{77} = 1.75 \text{ liter / s}$$

$$F = 6.2 \text{ N}$$

وبالتالي قدرة الدخل (w_1)،

والكفاءة الإجمالية ($\eta_{overall}$)

$$\eta_{overall} = \frac{105}{349} = 30\%$$

4.4.2 اختبار الأداء (B):

1. في حالة التوازي:

$$Q = 0.2\sqrt{225} = 3l/s, N = 3000rev/min, H = 225mm Hg$$

i. المضخة الأولى:

$$F = 502N, p_d = 0.84bar, p_s = 0.17bar$$

بالتالي قدرة الدخل (w_1),

$$w_1 = \frac{F \times N}{K} = \frac{5.2 \times 3000}{53.35} = 292.4w$$

والضغط الكلي (P)،

$$P = P_s + P_d = (0.17 + 0.84)10^2 = 101kN/m^2$$

ii. المضخة الثانية:

$$F = 505N, P_d = 0.82bar, P_s = 0.18bar$$

بالتالي قدرة الدخل (w_1)

$$w_1 = \frac{F \times N}{K} = \frac{5.5 \times 3000}{53.35} = 309.3w$$

الضغط الكلي (P)

$$P = (0.18 + 0.82) \times 10^2 = 100kN/m^2$$

بالتالي متوسط الضغط الكلي،

$$\text{متوسط الضغط الكلي} = \frac{100 + 101}{2} = 100.5kN/m^2$$

وقدرة الدخل الكلية،

$$\text{قدرة الدخل الكلية} = 292.4 + 309.3 = 601.7w$$

بالتالي يمكن حساب الهايدروليكية بالمعادلة،

$$w_2 = P_{mt} Q$$

حيث،

$$= P_{mt} \text{ متوسط الضغط الكلي.}$$

$$\text{متوسط الضغط الكلي} = \frac{100+101}{2} = 100.5 \text{ kN/m}^2$$

وقدرة الدخل الكلية،

$$\text{قدرة الدخل الكلية} = 292.4 + 309.3 = 601.7 \text{ w}$$

بالتالي يمكن حساب الهيدروليكية بالمعادلة،

$$w_2 = P_m Q$$

حيث،

$$P_m = \text{متوسط الضغط الكلي.}$$

عليه،

$$w_2 = 100.5 \times 3 = 301.5 \text{ w}$$

والكفاءة الإجمالية،

$$\eta_{\text{overall}} = \frac{301.5}{601.7} = 50.1\%$$

2. في حالة التوالي:

$$Q = 0.2 \sqrt{130} = 2.28 \text{ L/s}, N = 3000 \text{ rev/min}, h = 130 \text{ mm Hg}$$

i. لمضخة المرحلة الأولى:

$$F = 6.7 \text{ N}, P_s = 0.29 \text{ bar}$$

بالتالي، قدرة الدخل (w_1)،

$$\text{قدرة الدخل} = \frac{6.7 \times 3000}{53.35} = 376.76 \text{ w}$$

ii. لمضخة المرحلة الثانية:

$$F = 7.1 \text{ N}, P_d = 0.5 \text{ bar}$$

بالتالي قدرة الدخل (w_i)

$$w_i = \frac{7.1 \times 3000}{53.35} = 399.25w$$

$$P_i = P_s + P_d = (0.29 + 0.5) \times 10^2 = 79kN/m^2$$

$$\text{قدرة الدخل الكلي} = 376.76 + 399025 = 776w$$

$$\text{القدرة الهيدروليكية} = P_i \times Q = 79 \times 2.28 = 180.12w$$

$$\text{الكفاءة الإجمالية} = \frac{180.12}{776} = 23.2\%$$

4.4.3 اختبار الأداء (c):

يتم أخذ قراءات لسرعات متباينة تتراوح فيما بين 1470rev/min إلى 3000rev/min. فمثلاً

القراءات المأخوذة عن سرعة مقدارها 2800rev/min:

$$\text{السرعة بالـ rad/s} = \frac{2800 \times 2\pi}{60} = 293rad/s$$

$$h = 83mm Hg, P_d = 0.33, P_s = 0.23bar (constant), F = 5.5N$$

$$56kN/m^2 = (0.23 + 0.33) \times 10^2 = P_s + P_d = \text{الضغط الكلي}$$

$$289w = \frac{2800 \times 5.5}{53.35} = \text{قدرة الدخل}, Q = 0.2\sqrt{83} = 1.82L/s$$

ويتم حساب بعض الخصائص اللابعديّة فيما يلي:-

معامل السريان:-

$$6.14 \times 10^{-3} = \frac{1.82 \times 10^{-3}}{293 \times (0.1004)^3} = \frac{Q}{ND^3} = K_Q \text{ معامل السريان}$$

حيث $Q = \text{معدل السريان الحجمي بالـ } (m^3/s)$.

$N = \text{السرعة بالـ } (rsd/s)$.

D = قطر العجلة بالـ (m).

رقم رينولتز:-

$$29.5 \times 10^5 = \frac{10^3 \times 293 \times (0.1004)^2}{1002 \times 10^{-6}} = \frac{eND^2}{\mu} = (\text{Re})$$

حيث e = كثافة الماء بالـ (kg/m³)

$1002 \times 10^{-6} \text{ kg/ms} = \mu$ (يتم أخذها من جدول خواص الماء عند درجة حرارة

مقدارها 20° C)

معامل السميت:

$$64.7 \times 10^{-3} = \frac{0.56 \times 10^5}{10^3 \times 293^2 \times 0.1004^4} = \frac{(P_1 + P_2)}{eN^2 D^2} = \frac{P}{eN^2 D^2} = \frac{gH}{N^2 D^2} = (k_H)$$

حيث P = الضغط الكلي.

H = سميت الضغط بالـ (m).

معامل القدرة:

$$1.12 \times 10^{-3} = \frac{289}{10^3 \times 293^3 \times (0.1004)^5} = \frac{W_1}{eN^3 D^5} = (k_p)$$

4.4.4 اختبار الأداء (D):

يتم أخذ القراءات عند سرعة قصوى ثابتة مقدارها 3000rev/min وفرق ضغط ثابت مقداره

0.12bar

$$0.12 \text{ bar} = (P_d - P_s) \quad \text{فرق الضغط} \quad , P_d = 0.36 \text{ bar} \quad , P_s = 0.24 \text{ bar}$$

الضغط الكلي =

$$Q = 0.2 \sqrt{77} = 1.755 \text{ L/s} \quad , h = 77 \text{ mm Hg} \quad , F = 6.2 \text{ N} \quad , 60 \text{ kN/m}^2$$

$$\text{بالتالي قدرة الدخل } w_1 = \frac{3000 \times 6.2}{53.35} = 348.6w$$

والقدرة الهيدروليكية،

$$\text{القدرة الهيدروليكية} = (P_s + P_d) \times Q = 60 \times 1.755 = 105.3w$$

$$\eta_{\text{overall}} = \frac{105.3}{348.6} = 30.2\%$$

والكفاءة الإجمالية،

4.5 النتائج المختبرية والمناقشة (Experimental results and Discussion):

4.5.1 اختبار معايرة الفنشوري:

يتم إجراء الاختبار باستخدام مضخة المرحلة الأولى المفردة فقط بينما جهاز الفنشوري

مصمم حقيقة للعمل مع معدل سريان ثنائي المرحلة بالتالي فإن النتيجة (e.g ثابت الفنشوري = ميل

المنحنى = 0.243).

شكل رقم (ب - 1) لا يمكن مقارنتها مع نتيجة الجهة المصنعة التي تكون مكافئة لـ 0.20 هذا

ببساطة لأن الجهة المصنعة أجرت اختبارها على المرحتين معا.

لم يتم إجراء الاختبار المناسب لمعايرة الفنشوري نتيجة للصعوبات التي تنشأ عند إجراء الاختبار

والتي يمكن تلخيصها في الآتي:

1. الخزان الوحيد المتاح بسعة 50 لترا والمستخدم كخزان قياس وجد أن سعته صغيرة

جدا و لا تتناسب مع معدل السريان العالي نسبيا لمرحتي المضخة. أيضا القياس

الخطي على الخزان ليس بالدقة الكافية.

2. بما أن الجهاز وشبكة مواسيره محصورة في مساحة ضيقة، فإن نقطة إعادة توجيه

السريان إلى الخزان لا يمكن عملها أسفل الفنشوري أو حتى على نقطة قريبة بقدر

الإمكان كما ينصح المصنع.

3. يتم إجراء إعادة توجيه السريان باستخدام مواسير كبيرة الحجم ومفتوحة الطرفين يتم تركيبها عند الطرف البعيد لماسورة التصريف. هذه الترتيبة ينجم عنها تسريب عالي للماء وبالتالي نتائج خاطئة.

4. هنالك مشكلة أخرى تنشأ من حقيقة أن معدل سريان الماء في صنوبر إمداد الماء من الشبكة الرئيسية المتاحة في المعمل غير كاف لإعادة ملء مستودع الجهاز وذلك للحفاظ على ثبات منسوب الماء للسريان المستمر.

تستخدم الجهة المصنعة جهاز الماستر (master device) e.g مقياس سريان (Rotameter) لمعايرة الفنثوري. في هذه الحالة فإنه يتم توصيل الماستر على التوالي مع الفنثوري وتسجيل معدل السريان كما مبين بواسطة الماستر. مثل هذا الجهاز سيعطي بوضوح نتائج جيدة. بما أن التجربة لا يتوفر فيها جهاز ماستر فإن الطريقة السابقة يمكن استخدامها لإعطاء نتائج مقبولة إذا تمت معالجة الصعوبات المذكورة عاليه.

4.5.2 إختبار الأداء (A):

بما أن المصختان متطابقتان في البنية، فإن إختبار الأداء (A) سيكون الرئيسي في الدراسة. يتم إجراء هذا الاختبار على مضخة المرحلة الأولى المفردة عند السرعة القصوى 3000rcv/min وعند سرعة متوسطة مقدارها 2000rev/min.

الجداول و المخططات التي يتم الحصول عليها (ملحق جدول (أ-2)، وشكل (ب-2)) تكون مشابهة لنتائج المصنع. الخطوط الرأسية المنظمة خلال نقطة الكفاءة القصوى هي التي تعطي حالة التشغيل الأفضل للمضخة.

من المخطط عند السرعة القصوى، تعطي نقطة التشغيل الأفضل الخصائص التالية:

$$\text{الكفاءة القصوى} = 47\%$$

$$\text{سمت التشغيل الكلي} = 10.7m \approx 105kN / m^2$$

معدل السريان = $1.2 L/sec$

استهلاك القدرة = $270W$

عندما يتم تخفيض السرعة إلى $2000 rev/min$. فإن السريان والعلو سينخفضان تقريباً

إلى نصف القيم عالية، بينما ستخفض القدرة المستهلكة بصورة كبيرة وتزيد الكفاءة.

4.5.3 اختبار الأداء (B):

يتبع هذا الاختبار الحقيقة التي تقول أن ترتيبية التوازي تُعطي معدّل سريان عالي عند علو منخفض نسبياً مساوٍ تقريباً للعلو الذي يتم انجازه بمضخة مفردة بينما ترتيبه التوالي تُعطي العلو الأعلى على حساب معدّل السريان. تنشأ من هذه الخصائص أن كل ترتيبه يمكن استخدامها بكفاءة من وجهة نظر التطبيق. (ملحق جدول (أ-3)، وشكل (ب-3))

4.5.4 اختبار الأداء (C):

أما اختبار الخصائص اللاعبدية (C) فيتم إجراؤه على مضخة المرحلة الأولى المفردة بالتخفيض التدريجي للسرعة بتثبيت ضغط السحب عند قيمة ثابتة وذلك لأن له أثر عميق في الأداء. تُوضّح النتائج المخبرية (ملحق جدول (أ-4)، وشكل (ب-4)) أنه كلما انخفضت السرعة ينخفض معامل السريان " ϕ " ومعامل القدرة بينما يزداد معامل العلو " τ " بالتالي فإن النتائج والمنحنيات تتبع التحليل النظري.

4.5.5 اختبار الأداء (D):

يوضح هذا الاختبار أنه كلما زاد ضغط السحب بالغلاق التدريجي لصمام السحب ينخفض تبعاً لذلك معدّل السريان.

يتضح من هذا الاختبار (ملحق جدول (أ-5) وشكل (ب-5)) أن الزيادة الصغيرة تتسبب في

انخفاض كبير للسريان وبين ذلك، زيادة في الكفاءة الهيدروليكية وعند هذا المدى الصغير يلاحظ تكوّن

فقاعات من الهواء عند جدران لفنشوري الشفاف. أما الزيادة الإضافية في ضغط السحب فينتج عنها

حالة لا سريان وهذا يرجع لتكوّن فراغ جزئي في عين العجلة.

الفصل الخامس

5.0 تعقيبات على الجهاز

(Comments on the equipment)

5.1 توافق الجهاز مع الشروط القياسية:

نظرة أخرى للجهاز توضح أنه يتوافق بصورة كبيرة مع الشفرات الدولية الموضحة في الفصل الثاني. حيث يتم إمداد الجهاز بأجهزة معيارية لقياس الكميات الأربعة المطلوبة. أيضاً وجد بالفحص أن:

1. صنابير الضغط تبعد حوالي 8cm من فلنشات المضخة.
2. هنالك ماسورة مستقيمة طولها حوالي 50cm قبل الفنشورى وأخرى طولها 20cm بعد الفنشورى.

تتوافق الأرقام المذكورة عالية مع شفرات الاختبار بما أن قطر الماسورة الداخلي يساوي 3.3cm. نلاحظ أن المضخات لا تحتاج لتنفيس بالرغم من أنها في بعض الأحيان تترك عاطلة عن العمل لفترات طويلة. ويرجع ذلك لصغر حجم الجهاز وإحكام وصلاته وقصر ماسورة السحب ووجود صمام رداخ.

5.2 معوقات إجراء الاختبارات:

- الصعوبات التي تنجم عن عمل الاختبارات يمكن تلخيصها في الآتي:
1. كما ذكر سابقاً فإن تجربة معايرة الفنشورى لا يمكن أداؤها بخزان القياس المتاح ذو السعة 50 لتراً. يمكن تخطي هذه المعضلة بتوفير خزان ذو سعة معقولة.
 2. هنالك صعوبة كبيرة في أخذ قراءات مضبوطة من الوحدة المحملة بالياي ولهذا يجب أخذ أكثر من قراءة عند كل عملية ضبط جديدة.

3. صمامات الشبكة لينة جداً، عليه يُرجى توخي الجزر في تشغيلها عند فتح أو غلق

الصمامات بالكامل.

4. قبضة الصمام ذو الاتجاهين مكسورة وبالتالي يمكن أن يكون الصمام غير مضبوط

جزئياً وعليه فإن ضبط التوالي أو التوازي لا يتم إنجازه بصورة جيّدة.

الفصل السادس

6.0 الخاتمة

النقاط المذكورة أدناه يمكن اعتبارها كخاتمة:

1. النتائج التي يتم الحصول عليها لجميع الاختبارات هي مقنعة جداً وتكون تقريباً مطابقة للتي يتم إمدادها بواسطة الشركة المنتجة.

2. اختبار معايير الفنشوري المناسب لم يتم تنفيذه نتيجة للصعوبات التي تنشأ من تنفيذها بالتسهيلات المتاحة في المعمل. بالتالي فإن حساب جميع معدلات السريان لاختبارات الأداء يتم تنفيذها باستخدام قيمة ثابتة الفنشوري المعطاة بواسطة الشركة المنتجة كـ 0.02.

3. تُصَرَّف المضخة (1.2L/s) بعلو تشغيل مقداره 10.7m عند كفاءة قصوى مقدارها 47% عندما تشتغل بالسرعة القصوى. تعتبر هذه الكفاءة منخفضة عندما يتم مقارنتها بالقيم المقبولة للوحدات الصناعية (حوالي 75%) وسبب ذلك هو الحجم الصغير للماكينة الذي ينجم عنه فقودات محامل (bearing losses) حشوه (Gland) وقشرة (skin).

4. ترتيبه التوازي تعطي علو منخفض ثابت أكبر قليلاً من المضخة المفردة، لكنها تعطي مدى واسع لمعدلات السريان. بينما ترتيبه التوالي تعطي علواً عالياً على حساب معدلات السريان.

5. بما أن جهاز المضخة ذو سرعة متغيرة فيمكنه أن يعطي الميزان التالية:

أ. ينخفض استهلاك القدرة.

ب. ينخفض الضغوط التفاضلية للتشغيل.

ت. تقلل من المضخات المطلوبة.

ث. يُسهل عملية التركيب.

6. عموماً فإن الماكينة سهلة التشغيل وذات كفاءة عالية بحيث يمكن الاعتماد عليها.

المراجع

1. J. F. Douglas, "solution of problems in Fluid mechanics", volume I and II.
2. Mechanical Hand book.

جدول رقم (أ-1)

معايرة مقياس الفنشورى

السرعة (rev/min)	حجم السريان المصرف (لتر)	الزمن (ثانية)	علو التصريف h (mmHg)	\sqrt{h}	معدل السريان الحقيقي (L/s)
3000	50	23.4	95	9.75	2.137
2875	50	26.4	85	9.22	1.894
2700	50	28.2	77	8.78	1.773
2560	50	30.0	71	8.43	1.667
2407	50	32.4	64	8.00	1.543
2200	50	36.6	56	7.48	1.366
2000	50	39.0	48	6.93	1.282
1850	50	40.8	43	6.56	1.225
1770	50	43.8	41	6.40	1.142
1600	50	46.8	36	6.00	1.068
1400	50	57.0	31	5.57	0.088

جدول (أ-2) اختبار الأداء (A)

مسلسل	ضغط السحب P_1 (bar)	ضغط التصريف P_2 (bar)	الضغط الكلي $\frac{(KV)}{m^2}$	الحمل F (N)	السرعة (rev/min)	h (mmHg)	Q liter/sec	قدرة الدخل W1 (Watt)	القدرة الهيدروليكية W2 (Watt)	الكفاءة الإجمالية (%)
1	0.14	0.14	28	2.9	2000	37	1.22	109	34	31
2	0.16	0.16	32	2.8	2000	32	1.13	105	36	34
3	0.18	0.18	36	2.7	2000	28	1.06	101	38	38
4	0.20	0.20	40	2.6	2000	24	0.98	98	39	40
5	0.24	0.24	48	2.1	2000	16	0.80	79	38	49
6	0.26	0.26	52	1.9	2000	10	0.63	71	33	46
1	0.24	0.36	60	6.2	3000	77	1.75	349	105	30
2	0.26	0.38	64	6.1	3000	74	1.72	343	110	32
3	0.28	0.40	68	6.0	3000	73	1.71	337	116	35
4	0.32	0.44	79	5.9	3000	67	1.64	332	125	38
5	0.36	0.48	84	5.6	3000	59	1.54	315	129	41
6	0.40	0.52	92	5.4	3000	52	1.44	304	132	44
7	0.46	0.58	104	4.9	3000	38	1.233	276	128	47
8	0.50	0.62	112	4.4	3000	27	1.04	247	117	48

جدول (أ-3)، اختيار الأداء (B)

معدل	1 st stage					2 nd stage					Venture Flow					الضغط الإجمالي (KN/m ²)	قدرة الدخل الاجمالي w ₁ watt	القدرة المتوزعة w ₂ watt	الكفاءة %
	قدرة الدخل W ₁ (watt)	السرعة (rev/min)	الحمل F(N)	ضغط السحب P _s	ضغط الضرب P _d	الضغط الكلبي (Pd+Ps) KN/m ²	السرعة (rev/min)	الحمل F(N)	ضغط السحب bar	ضغط الضرب bar	الضغط الكلبي Pd+Ps KN/m ²	قدرة الدخل W ₁ (watt)	h mmHg	Q L/s	Q L/hour				
1	292.4	3000	5.2	0.17	0.84	101	3000	5.5	0.18	0.82	100	309	225	3.0	10800	1005	601.69	301.5	50.1
2	269.9	3000	4.8	0.15	0.935	108.5	3000	5.3	0.16	0.95	111	298	190	2.76	9936	109.75	567.94	302.91	53.3
3	253	3000	4.5	0.13	1.03	116	3000	4.9	0.14	1.06	120	275	147	2.43	8730	1181.00	528.58	286.15	54.1
4	230	3000	4.1	0.11	1.13	124	3000	4.75	0.11	1.18	129	267	110	2.09	7551	126.5	497.65	265.4	53.3
5	185.6	3000	3.3	0.09	1.21	130	3000	4.0	0.1	1.205	130.5	224	67	2.64	5893	130.25	410.49	213.22	51.9
6	149.1	3000	2.65	0.07	1.3	173	3000	3.2	0.07	1.30	137	179	24	0.979	3527	137.0	428.95	134.12	40.8
1	376	3000	6.7	0.29			3000	7.1		0.15	79	399	130	2.28	8209	79	776.01	180.12	23.2
2	365.5	3000	6.5	0.27			3000	6.7		0.70	97	376	118	2.17	7821	97	742.27	210.78	28.4
3	348.6	3000	6.2	0.22			3000	6.5		1.00	122	365	104	2.04	7343	122	714.15	248.76	34.8
4	326.2	3000	5.8	0.20			3000	6.2		1.47	167	348	84	1.83	6599	167	674.15	306.11	45.4
5	292	3000	5.2	0.17			3000	5.9		1.75	192	331	70	1.67	6024	192	624.18	321.22	51.5
6	269	3000	4.8	0.14			3000	5.5		2.00	214	309	55	1.48	5340	214	579.4	317.36	54.8

$$\rho = 1000 \text{ Kg/m}^3$$

$$\mu = 1002 \cdot 10^{-6} \text{ Kg/m.s}$$

جدول (4) اختيار الأداء (C)

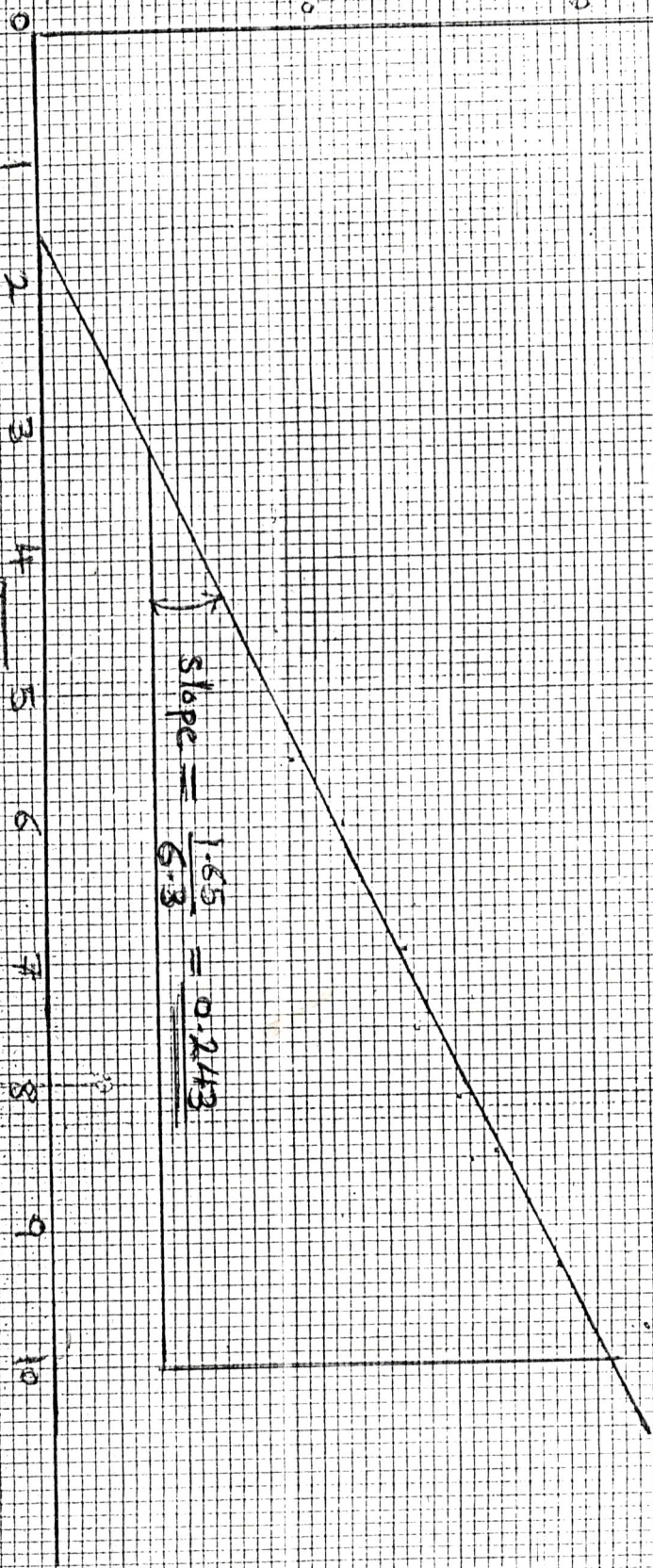
مسلسل	السرعة (rev/min)	السرعة (rad/s)	ضغط السحب P_1 (bar)	ضغط التصريف P_2 (bar)	العمق h (mmHg)	معدل السريان F (N)	الضغط الكلي $(P_1+P_2) \cdot K$ (N/m ²)	معدل السريان Q (liter/sec)	قوة الدخل W_1 (watt)	معدل السريان $\dot{Q} = Q \cdot 10^3 / ND^3$	رقم رينولدز $R = PND^2 / \mu$	معدل السمك $= (P_2+P_1) \cdot 10^3 / eND^2$	معدل القدرة $\pi \cdot w \cdot P \cdot N$
1	3000	214	0.23	0.38	96	6.5	61	1.96	366	$6.16 \cdot 10^{-3}$	$31.6 \cdot 10^5$	$61.3 \cdot 10^{-3}$	$1.165 \cdot 10^{-3}$
2	2800	293	0.23	0.33	83	5.5	56	1.82	289	$6.13 \cdot 10^{-3}$	$29.5 \cdot 10^5$	$64.0 \cdot 10^{-3}$	$1.130 \cdot 10^{-3}$
3	2700	283	0.23	0.3	76	5.1	53	1.74	258	$6.08 \cdot 10^{-3}$	$28.5 \cdot 10^5$	$65.8 \cdot 10^{-3}$	$1.163 \cdot 10^{-3}$
4	2600	272	0.23	0.26	69	4.8	49	1.66	234	$6.02 \cdot 10^{-3}$	$27.4 \cdot 10^5$	$65.6 \cdot 10^{-3}$	$1.136 \cdot 10^{-3}$
5	2500	262	0.23	0.24	63	4.5	47	1.59	211	$6.01 \cdot 10^{-3}$	$26.4 \cdot 10^5$	$68.0 \cdot 10^{-3}$	$1.152 \cdot 10^{-3}$
6	2400	251	0.23	0.22	57	4.2	45	1.51	189	$5.94 \cdot 10^{-3}$	$25.25 \cdot 10^5$	$70.0 \cdot 10^{-3}$	$1.167 \cdot 10^{-3}$
7	2300	241	0.23	0.19	51	3.75	42	1.43	162	$5.86 \cdot 10^{-3}$	$24.25 \cdot 10^5$	$71.8 \cdot 10^{-3}$	$1.164 \cdot 10^{-3}$
8	2200	230	0.23	0.17	45	3.4	40	1.34	140	$5.75 \cdot 10^{-3}$	$23.1 \cdot 10^5$	$74.8 \cdot 10^{-3}$	$1.161 \cdot 10^{-3}$
9	2000	209	0.23	0.12	35	2.9	35	1.18	109	$5.75 \cdot 10^{-3}$	$21.0 \cdot 10^5$	$79.2 \cdot 10^{-3}$	$1.160 \cdot 10^{-3}$
10	1900	199	0.23	0.1	30	2.6	33	1.1	93	$5.46 \cdot 10^{-3}$	$20.0 \cdot 10^5$	$82.7 \cdot 10^{-3}$	$1.152 \cdot 10^{-3}$
11	1750	183	0.23	0.06	23	2.2	29	0.96	72	$5.18 \cdot 10^{-3}$	$13.4 \cdot 10^5$	$85.6 \cdot 10^{-3}$	$1.150 \cdot 10^{-3}$
12	1660	174	0.23	0.05	19	1.09	28	0.87	59	$4.95 \cdot 10^{-3}$	$17.5 \cdot 10^5$	$92.0 \cdot 10^{-3}$	$1.105 \cdot 10^{-3}$
13	1540	161	0.23	0.02	14	1.65	25	0.75	48	$4.60 \cdot 10^{-3}$	$16.2 \cdot 10^5$	$95.4 \cdot 10^{-3}$	$1.113 \cdot 10^{-3}$
14	1470	154	0.23	0	11	1.5	23	0.66	41	$4.24 \cdot 10^{-3}$	$15.5 \cdot 10^5$	$96.3 \cdot 10^{-3}$	$1.1105 \cdot 10^{-3}$

جدول (أ-5)، اختبار الأداء (D)

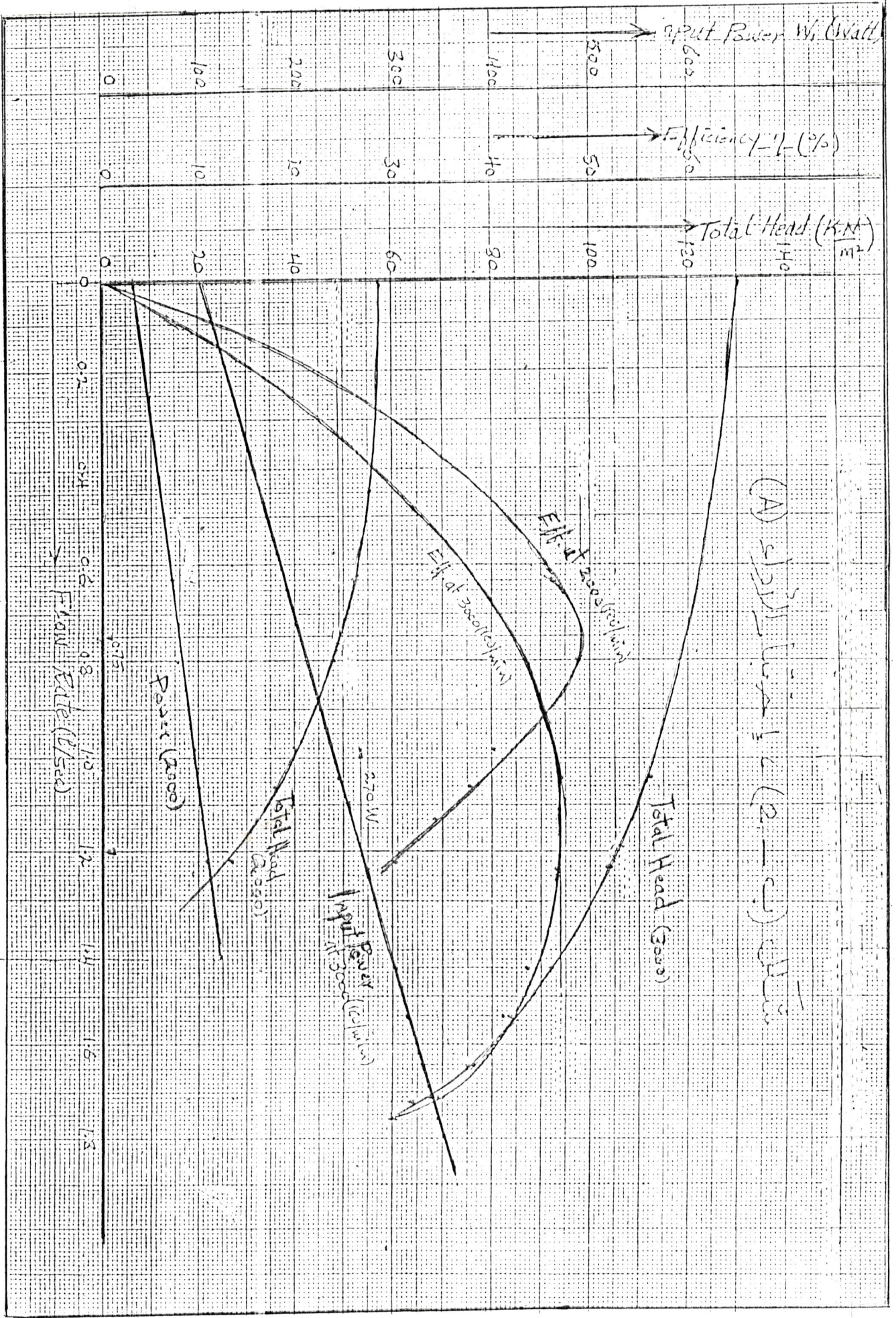
قطر المجلة $D = 0.1004(m)$
 معايير الفيشوري $Q = 0.2 \sqrt{h} (L/sec)$
 ثابت الدينامومتر $K = 53.35$

ضغط السحب P_1 (bar)	ضغط التصريف P_2 (bar)	فرق الضغط $P_2 - P_1$ (bar)	الضغط الكلي $P_1 + P_2$ (KN/m ²)	الحمل F (N)	السرعة N (rev/min)	الفيشوري H(mmHg)	الفيشوري Q(L/sec)	$W_1 = \frac{FN}{K}$ (Watt)	$W_2 = (P_1 + P_2)Q$ (Watt)	الكفاءة (%)
0.24	0.36	0.12	60	6.2	3000	77	1.755	105.3	348.6	30.2
0.26	0.38	0.12	64	6.1	3000	74	1.72	110.1	343.0	32.1
0.28	0.40	0.12	68	6.0	3000	73	17.1	116.3	337.4	34.5
0.32	0.44	0.12	67	5.9	3000	67	1.64	124.6	331.8	37.6
0.36	0.48	0.12	84	5.6	3000	59	1.54	129.4	315.0	41.1
0.24	0.52	0.12	92	5.4	3000	52	1.44	132.4	303.7	43.6
0.46	0.58	0.12	104	4.9	3000	38	1.233	128.2	275.5	46.5
0.50	0.62	0.12	112	4.4	3000	27	1.04	116.5	247.4	47.1

(Q) Flow Rate (l/sec)

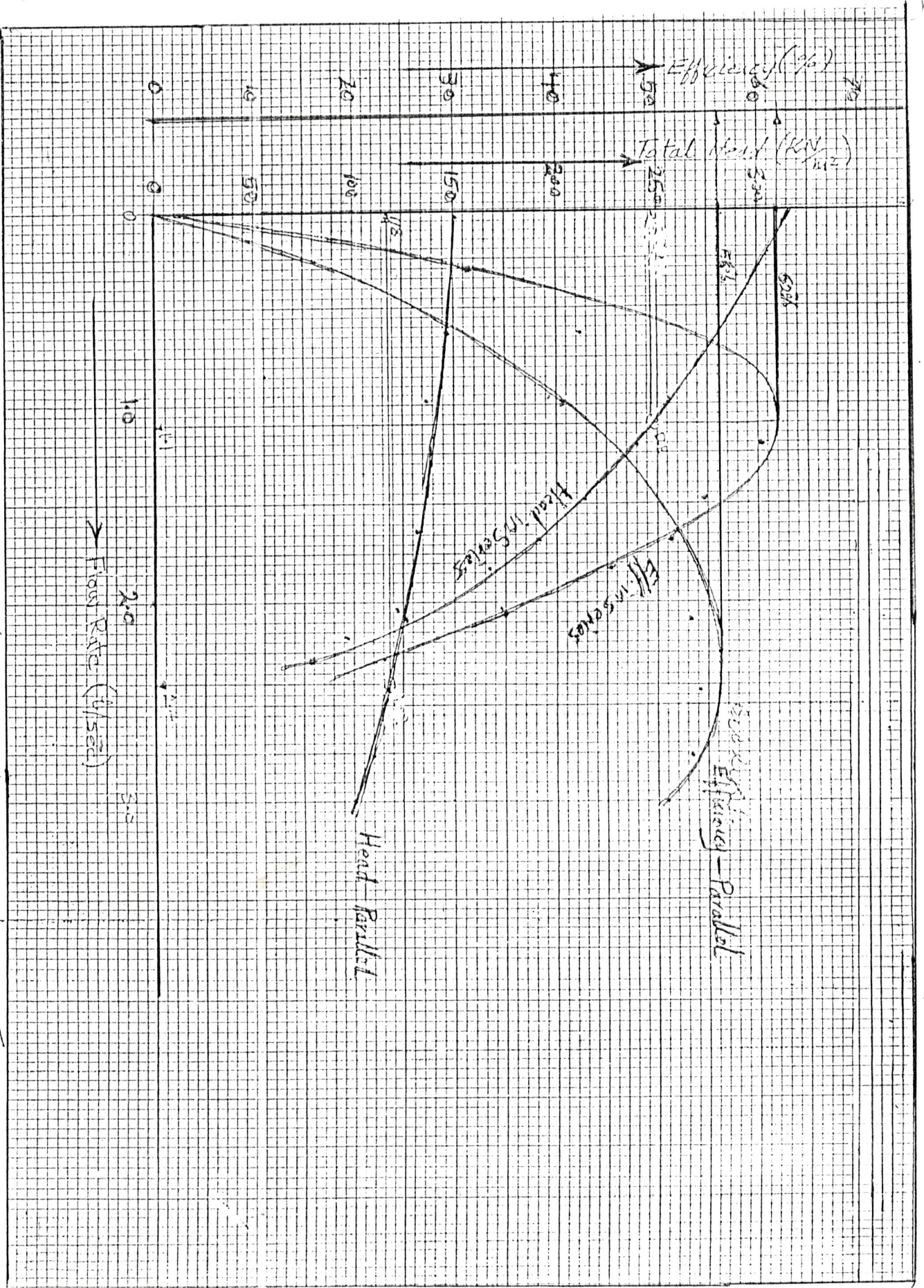


مثال (ب) - (1) في الثانية

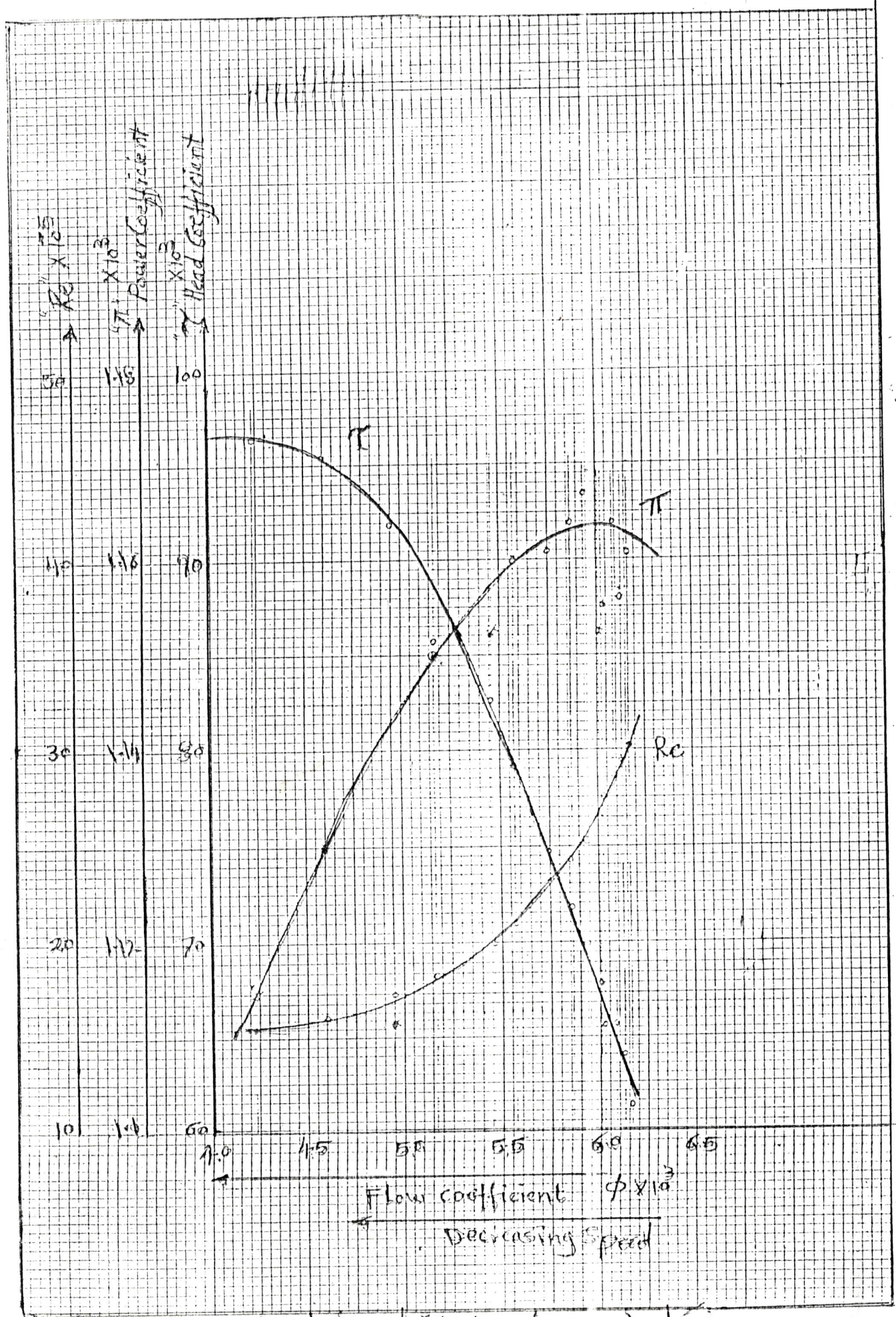


(A) كفاءة المضخة عند 270 واط

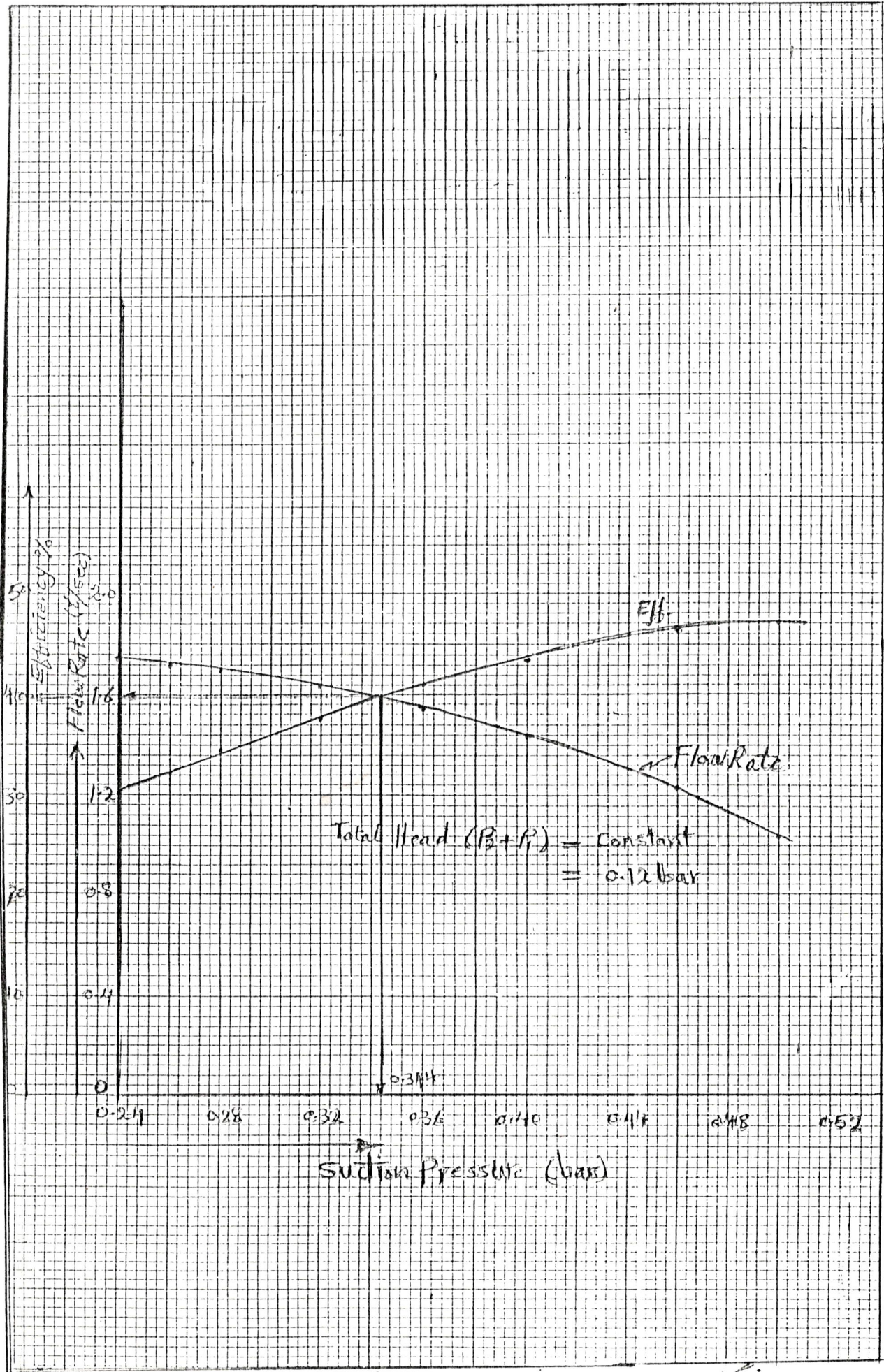
معدل التدفق عند 1.2 لتر/ثانية



شکل (ب) - 3، 1 حیات - الراء (B)



شكل (ب-4) - اختبار الأداء (ج)



شكل (ب - 5) ، اختبار الورداء (D)